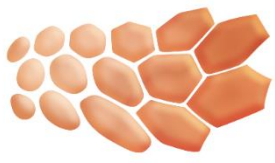


Plateforme Nationale de Frittage Flash

Geoffroy CHEVALLIER





GFDM-FACE

Groupe Francophone de Densification de Matériaux
par Frittage Assisté sous Champ Électromagnétique

Programme de la Journée

9h30-10h Accueil des participants - Café

10h-10h25 « Présentation des activités FACE au Centre Inter-universitaire de Recherche et d'Ingénierie des Matériaux »
(Geoffroy CHEVALLIER, C. ESTOURNES, CIRIMAT)

10h25-10h50 « Présentation des activités FACE au Laboratoire de Cristallographie et Sciences des Matériaux » (Jacques NOUDEM, CRISMAT)

10h50-11h15 « De l'optique à l'énergie: frittage SPS de verres, composés à clusters et intermétalliques à l'Institut des Sciences Chimiques de Rennes » (Mathieu PASTUREL, ISCR)

11h15-11h40 « Fabrication de pièces complexes Near Net Shape par SPS » (Arnaud FREGEAC, NORIMAT)

11h40-12h05 « Activités FACE à l'Institut de Chimie et de la Matière Condensée de Bordeaux » (U-Chan CHUNG, ICMCB)

12h05-12h30 "Bref aperçu des activités passées et actuelles en matière de densification par SPS et frittage flash au Centre de Recherches de l'Industrie Belge de la Céramique » (Jean-Pierre ERAUW, Védi DUPONT, Laurent BOILET, CRIBC)

12h30-12h55 « Présentation des activités FACE à l'Institut de Chimie et des Matériaux de Paris-Est » (Judith MONNIER, ICMPE)

13h-14h30 Buffet

14h30-16h30 Assemblée générale

Création en 2004 à Toulouse : premier SPS en France

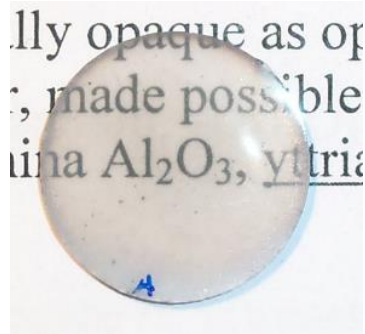
Accessible à tous les laboratoires

Mise en forme de tous types de matériaux

Création en 2004 à Toulouse : premier SPS en France

Accessible à tous les laboratoires

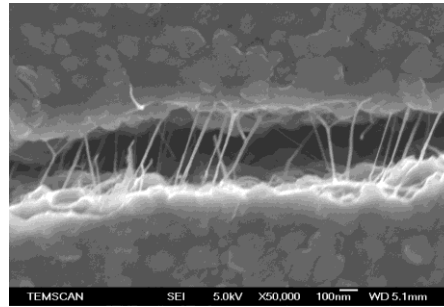
Mise en forme de tous types de matériaux



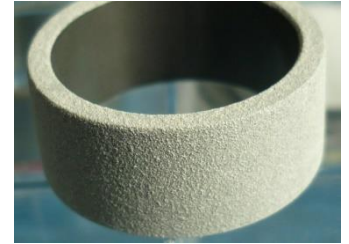
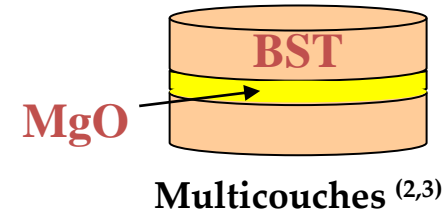
Céramiques



Métal



Composites ⁽¹⁾



Revêtements

⁽¹⁾A. Peigney, *Carbon* (2010)

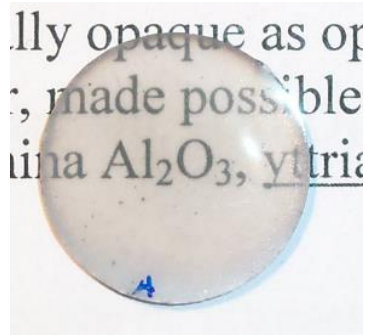
⁽²⁾C. Elissalde, *J. Am. Ceram. Soc.* (2007)

⁽³⁾U-Chan Chung, *Appl. Phys. Lett.* (2008)

Création en 2004 à Toulouse : premier SPS en France

Accessible à tous les laboratoires

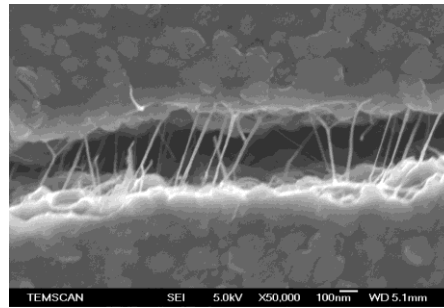
Mise en forme de tous types de matériaux



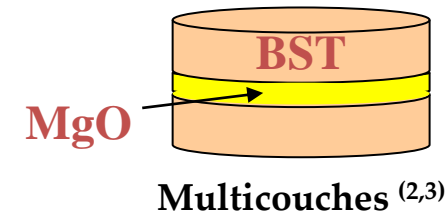
Céramiques



Métal



Composites ⁽¹⁾



Revêtements

Plus de 27 000 échantillons

Contact : geoffroy.chevallier@univ-tlse3.fr

⁽¹⁾A. Peigney, *Carbon* (2010)

⁽²⁾C. Elissalde, *J. Am. Ceram. Soc.* (2007)

⁽³⁾U-Chan Chung, *Appl. Phys. Lett.* (2008)

Fuji 632 Lx



I_{max} : 3000 A

F_{max} : 60 kN

Atm : Vide (< 10 Pa) / Ar

Φ_{max} : 30 mm

Fuji 632 Lx



Imax : 3000 A
Fmax : 60 kN
Atm : Vide (< 10 Pa) / Ar
 Φ max : 30 mm

Dr Sinter 2080



Imax : 8000 A
Fmax : 200 kN
Atm : Vide (< 10 Pa) / Ar / N₂
 Φ max : 100 mm

Fuji 632 Lx



I_{max} : 3000 A
F_{max} : 60 kN
Atm : Vide (< 10 Pa) / Ar
Φ_{max} : 30 mm

T_{max} : 2200°C
P_{max} : 150 MPa

Dr Sinter 2080



I_{max} : 8000 A
F_{max} : 200 kN
Atm : Vide (< 10 Pa) / Ar / N₂
Φ_{max} : 100 mm

Graphite : Toyo Tanso ISO68



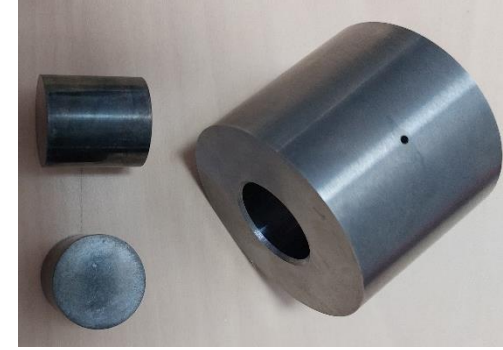
Tmax : 2200°C
Pmax : 150 MPa
Φmax : 100 mm

Graphite : Toyo Tanso ISO68



Tmax : 2200°C
Pmax : 150 MPa
Φmax : 100 mm

WC/Co : Pedersen



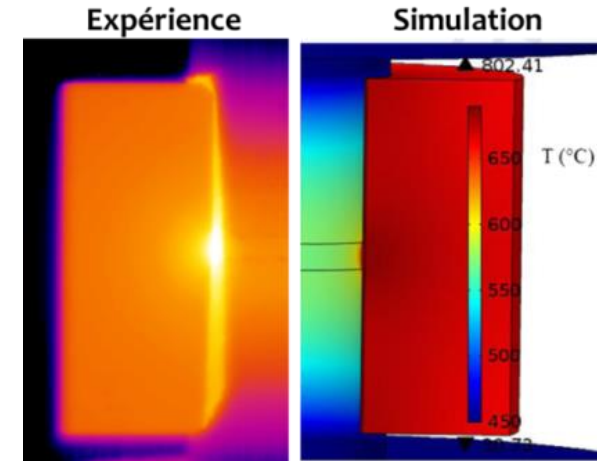
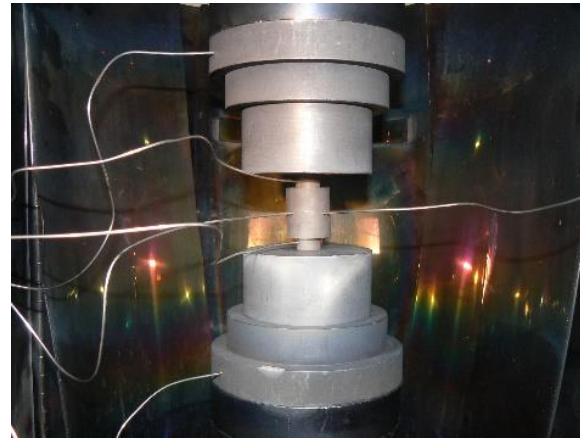
Tmax : 800°C
Pmax : 2000 MPa
Φmax : 30 mm
Essais sous air

Conception d'un passage étanche pour capteurs (température, courant, tension)

Mesures in-situ

Réalisation d'un programme informatique (LabView)

Alimentation d'un modèle numérique multiphysique



ANR Impulsé 2009 – 2014

Doctorat Pavia 2009 – 2012

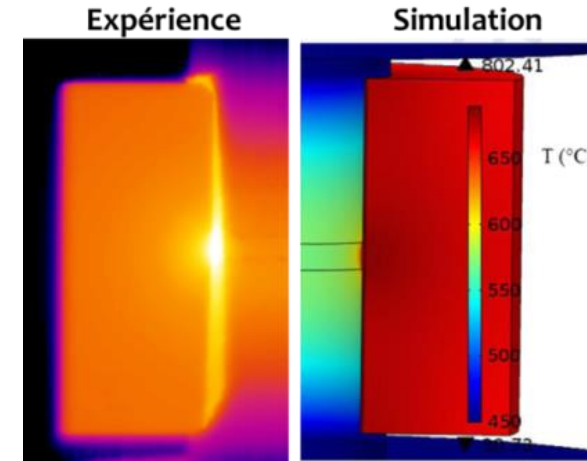
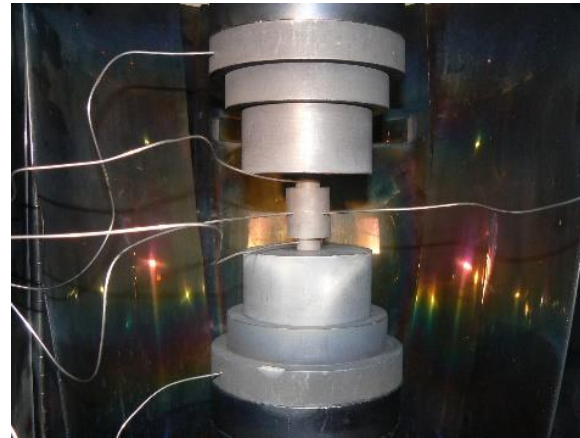
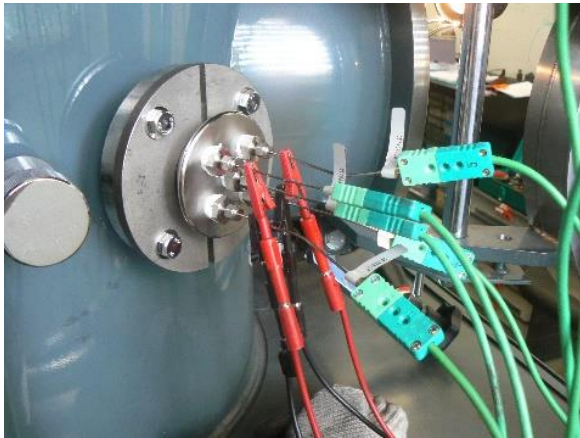
Doctorat Manière 2012 - 2015

Conception d'un passage étanche pour capteurs (température, courant, tension)

Mesures in-situ

Réalisation d'un programme informatique (LabView)

Alimentation d'un modèle numérique multiphysique

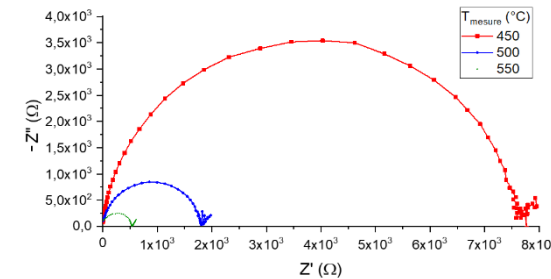
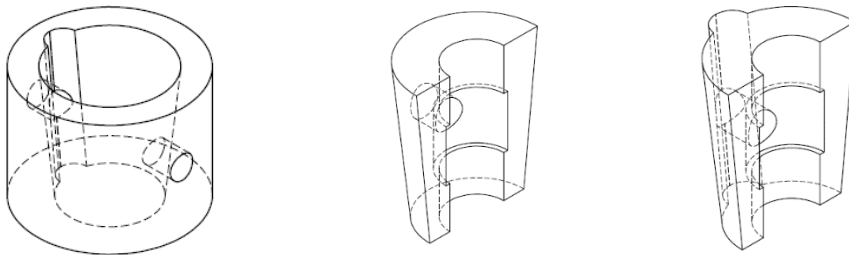


ANR Impulsé 2009 – 2014

Doctorat Pavia 2009 – 2012

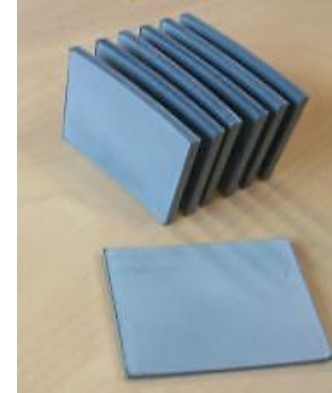
Doctorat Manière 2012 - 2015

Conception d'un outillage pour mesures d'impédance *in situ*



Doctorat A. Flaureau 2017 - 2020

Conception d'outillages à la contre-forme (→ pièces directement aux cotes)



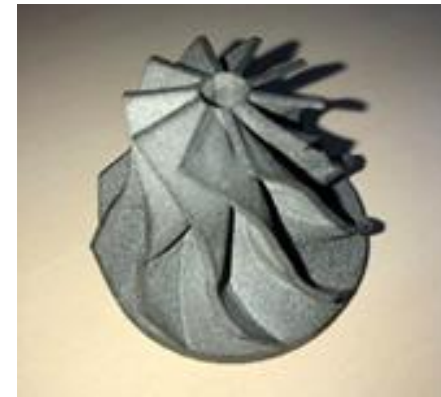
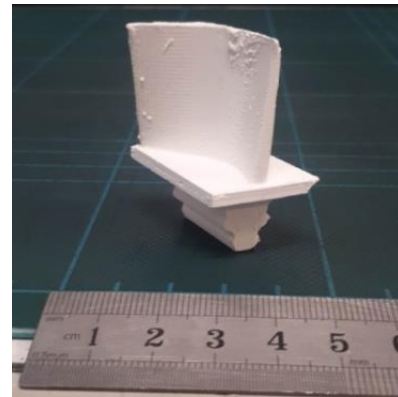
Contrats SAFRAN - 3 brevets

Conception d'outillages à la contre-forme (→ pièces directement aux cotes)



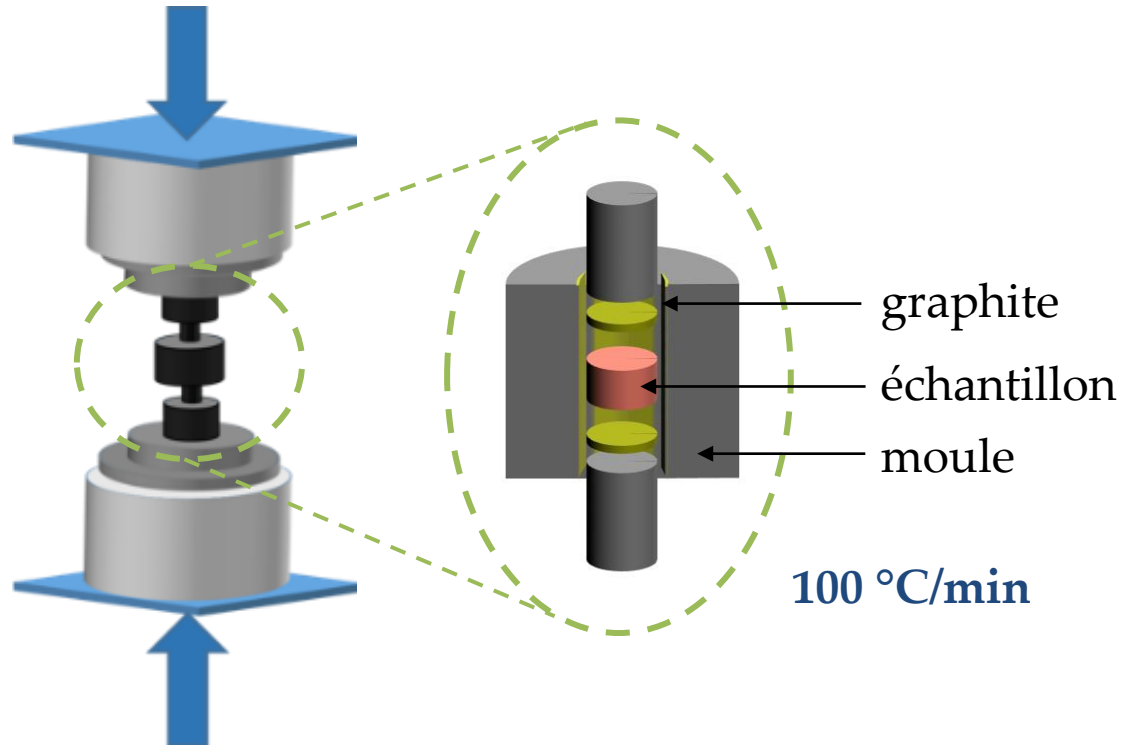
Contrats SAFRAN - 3 brevets

Couplage SPS - techniques additives (fusion laser, impression 3D céramiques)



3 brevets CNRS/UPS

Pression + courant SPS

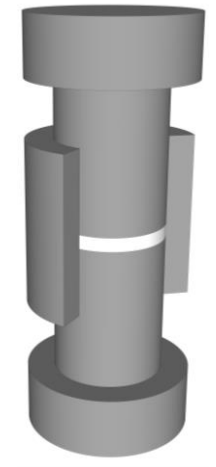


FSPS

- Parois du moule fines (5mm)
- Puissance maximale machine

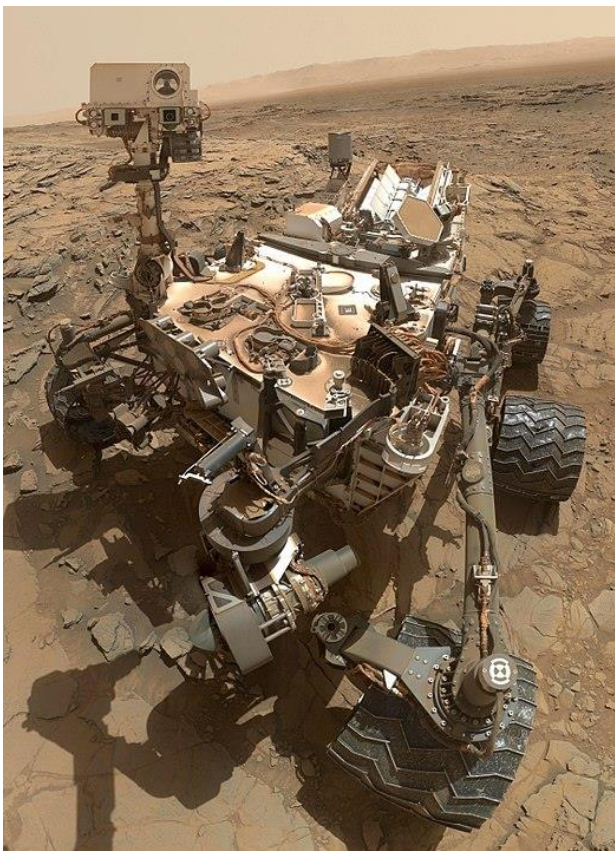
→ Rampes très élevées

10 000 °C/min

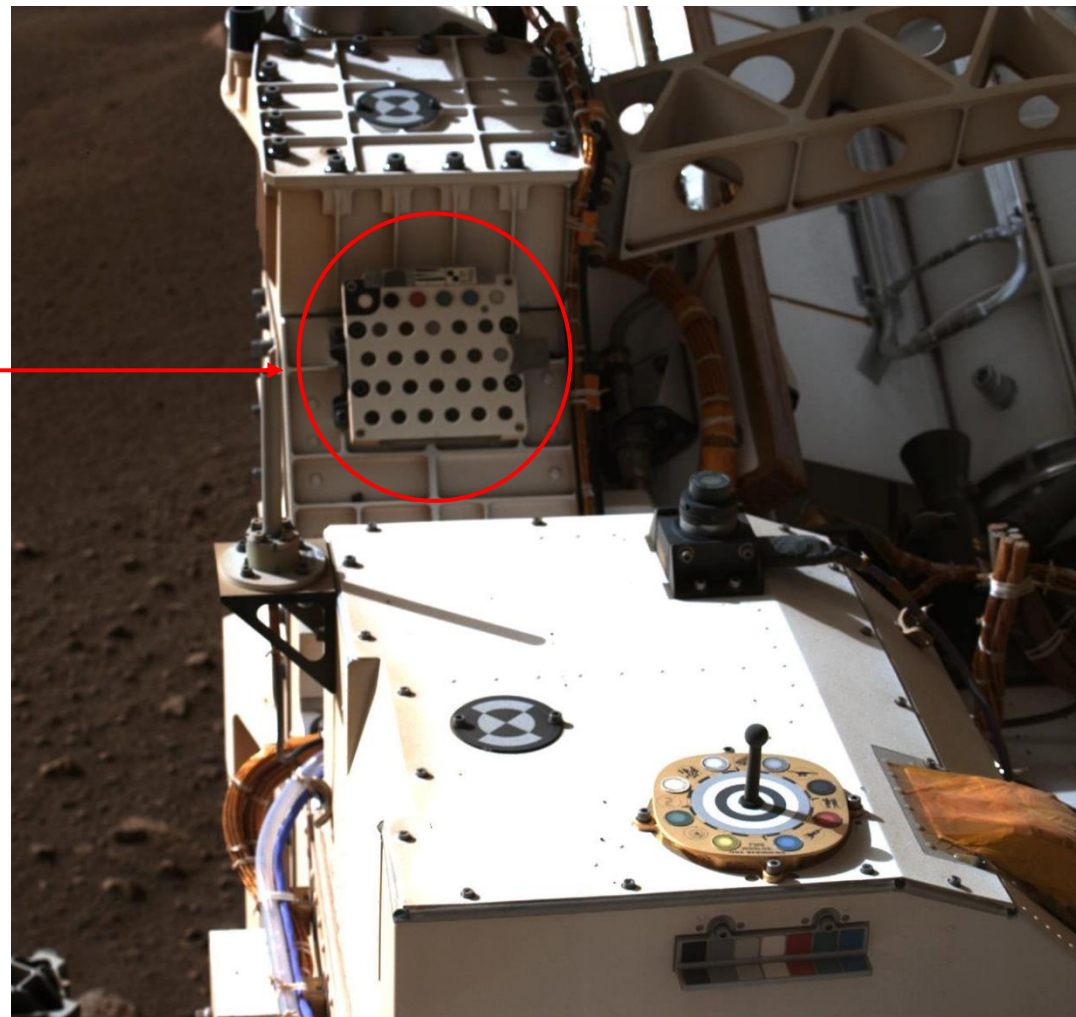


3YSZ : Impact sur microstructure ⁽⁴⁾

⁽⁴⁾ T. Hérisson de Beauvoir, J. Eur. Ceram. Soc. (2021)

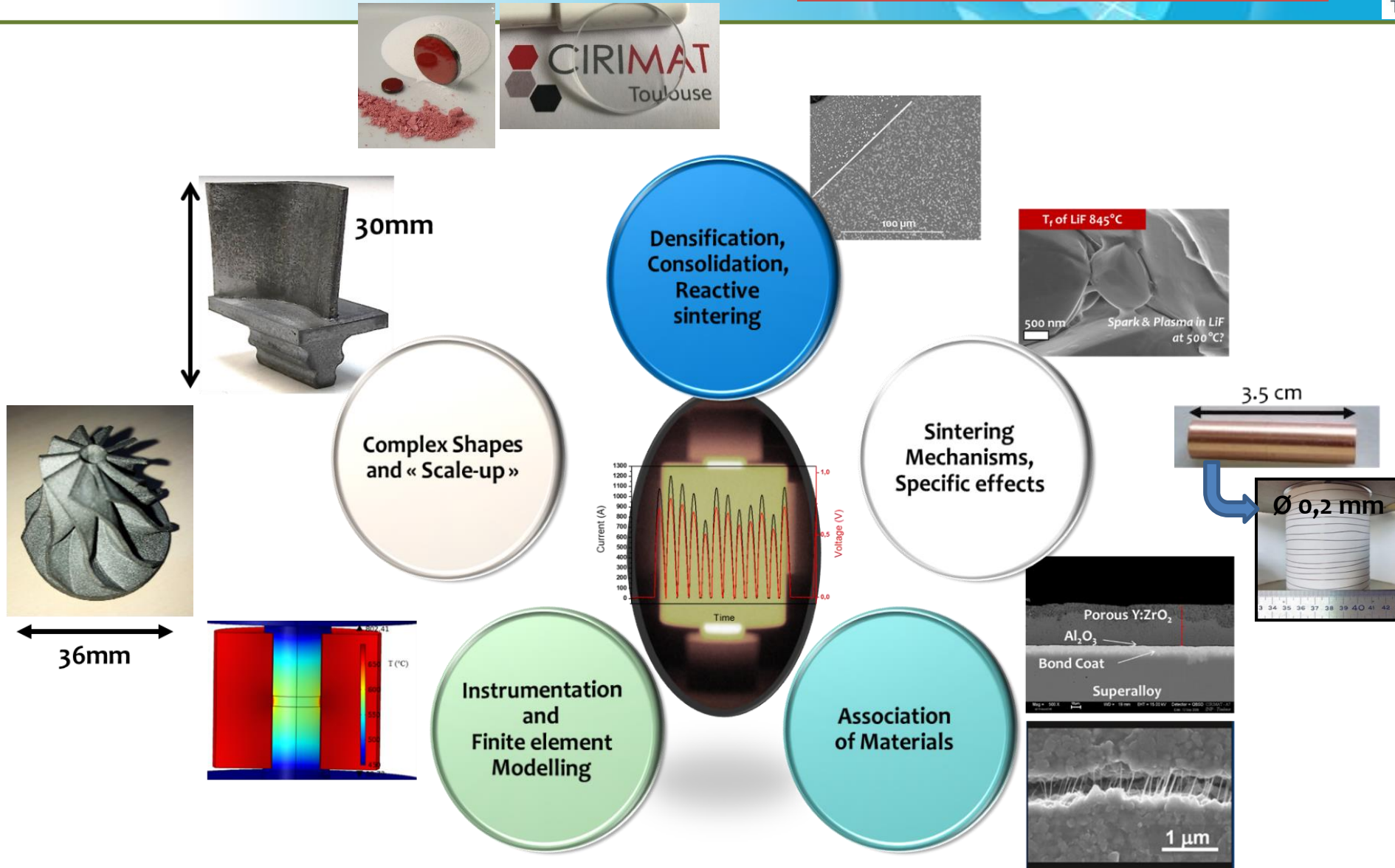


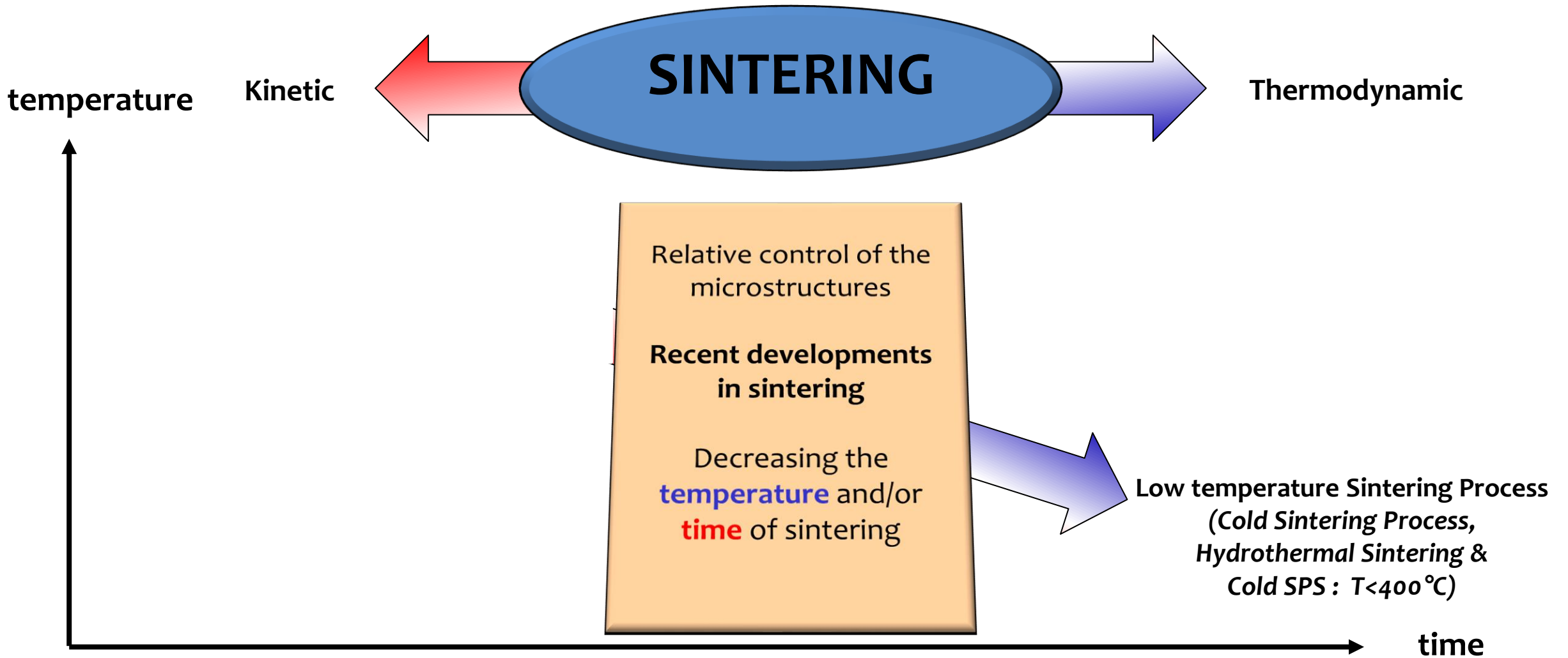
Cibles de calibration
densifiées à la PNF² et
embarquées sur
Perseverance
Mars2020



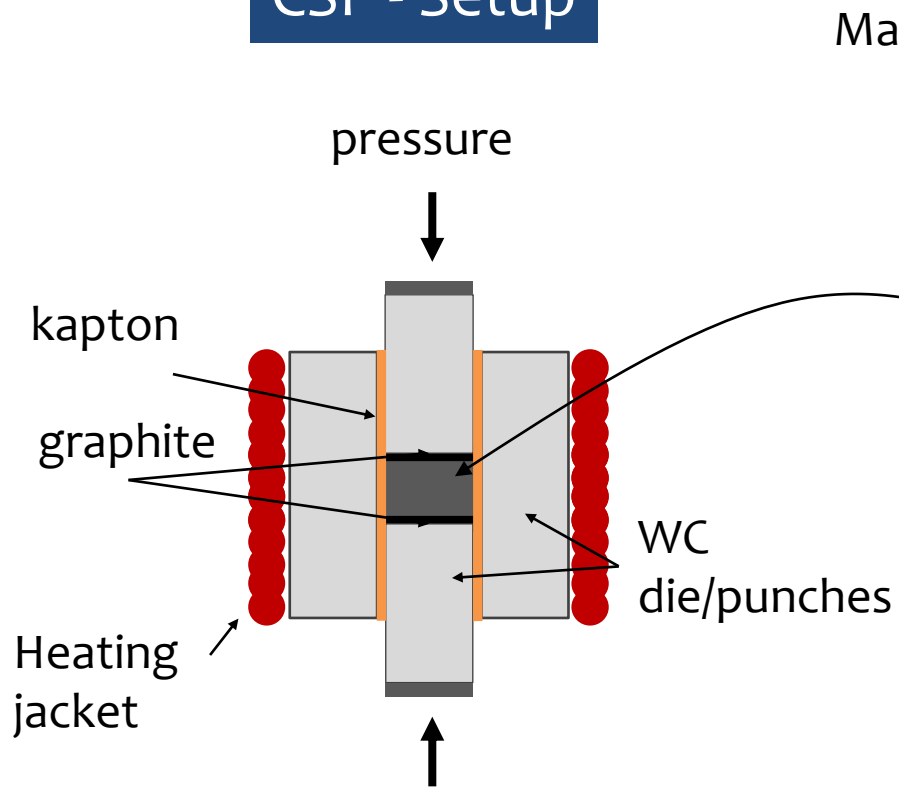
Activité au CIRIMAT

Claude ESTOURNES





CSP - Setup



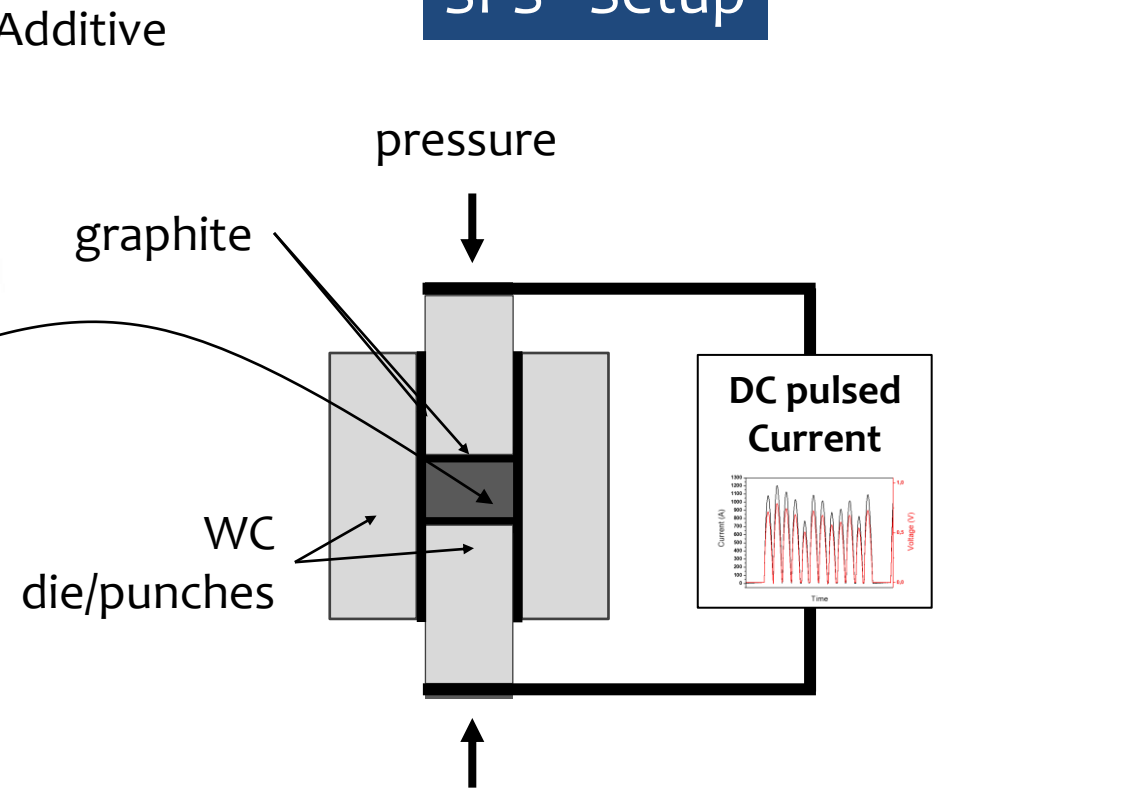
J. Guo et al. Angew Chem, 55, 2016, 11457-11461

Transient liquid phase

Material H₂O + Additive



SPS - Setup



C. Drouet et al., Adv. Sci. & Tech, 49 (2006), 45-50

Added

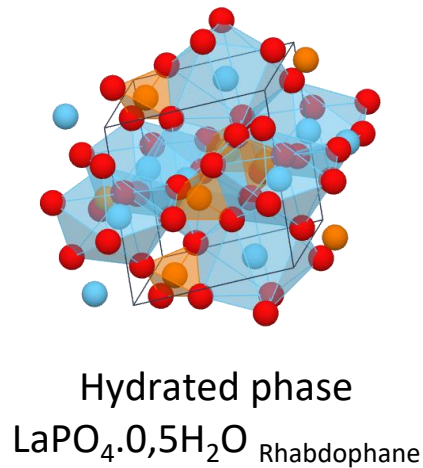
Generated in situ

TBC applications

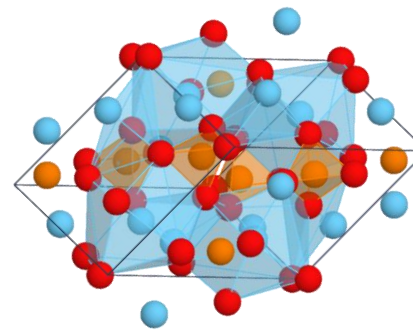
High Temperature lubricant

	T_f (°C)	λ (K ⁻¹)	σ_{therm} (W.m ⁻¹ .K ⁻¹)	Microhardness (GPa)	E (GPa)
YSZ	2680	11.10 ⁻⁶	2,2	12	210
LaPO ₄ [1-4]	2072	10.10 ⁻⁶	3,6	1,3 to 5,2	150

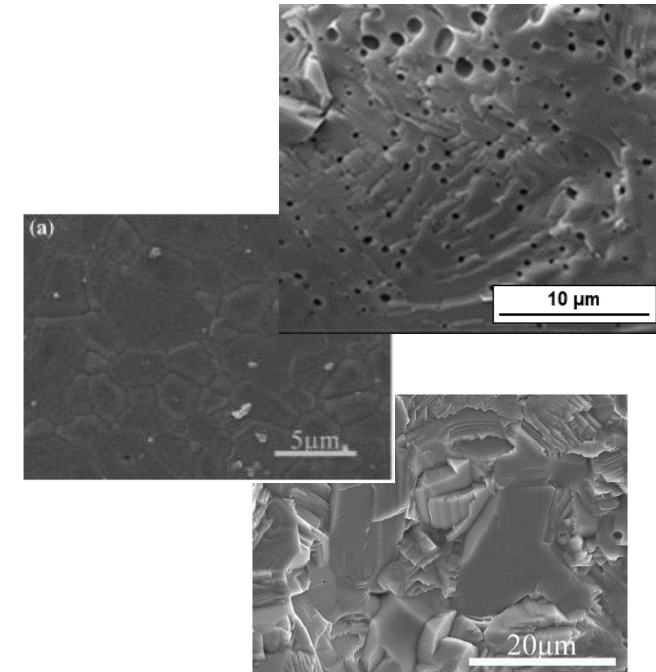
Thermal and chemical stability



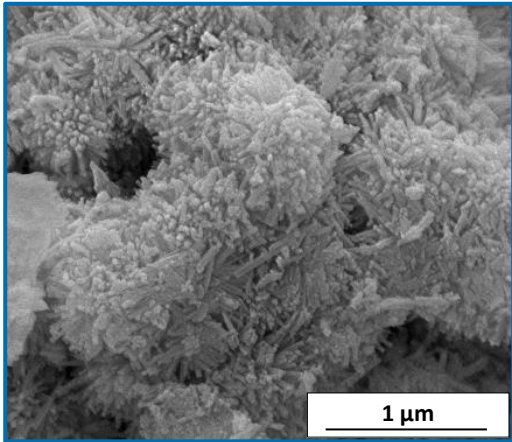
Calcination



Sintering
Conventional [3]
Pressure assisted [1&4]



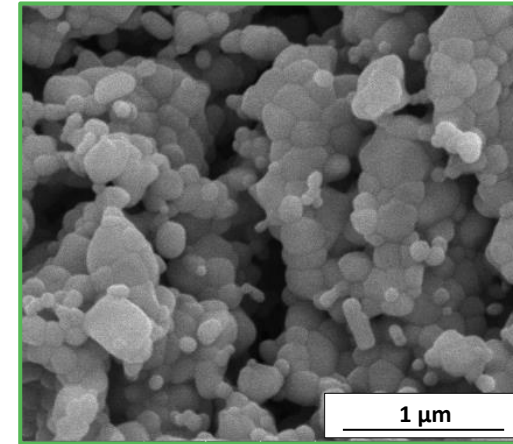
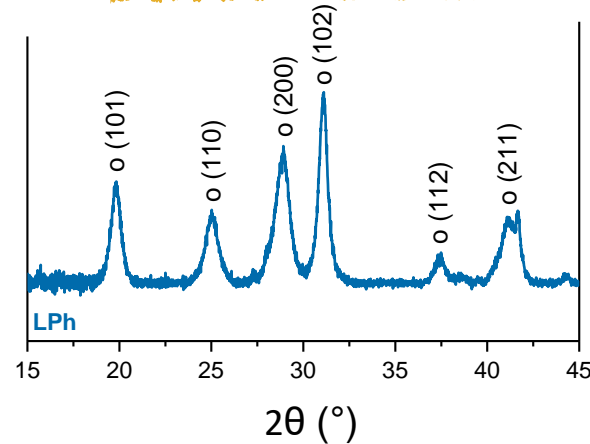
[1] Luo Yongming & al., Mat. Chem and Phy. (2003); [2] D. Bernache-Assollant & al. J. Eu. Ceram. Soc. (2007); [3] S. Ananthakumar & al., Ceram. Int. (2014); [4] W. Pan & al., J. Am. Ceram. Soc (2010).



$\text{LaPO}_4 \cdot 0.5\text{H}_2\text{O}$

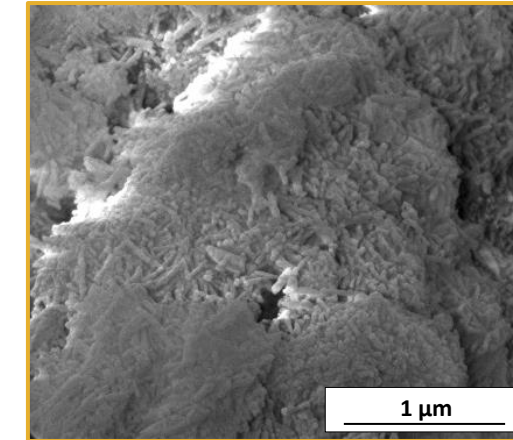
TG – DTA

- Below 400°C dehydration
- Progressive phase transformation from 150 to 825 °C



Grain ripening

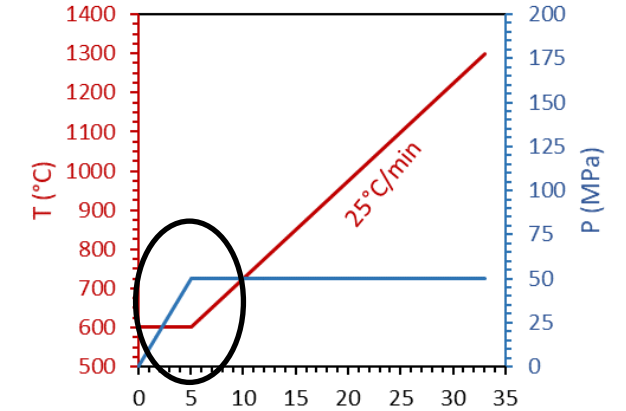
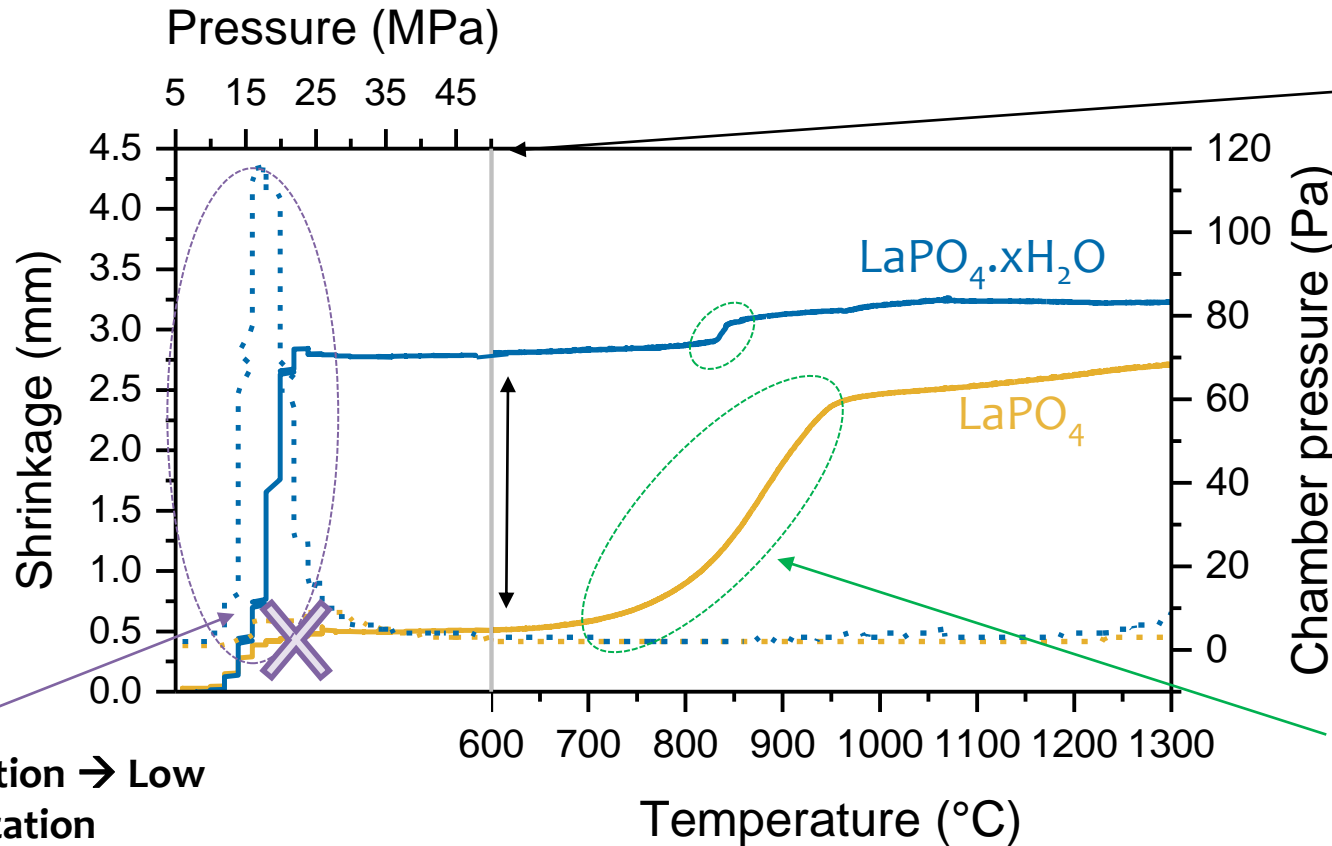
Spherical particles



Nano-rods shaped particles

Anhydrous phase crystallization

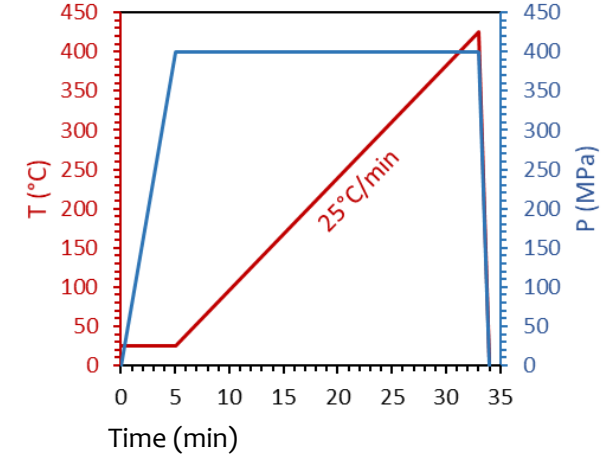
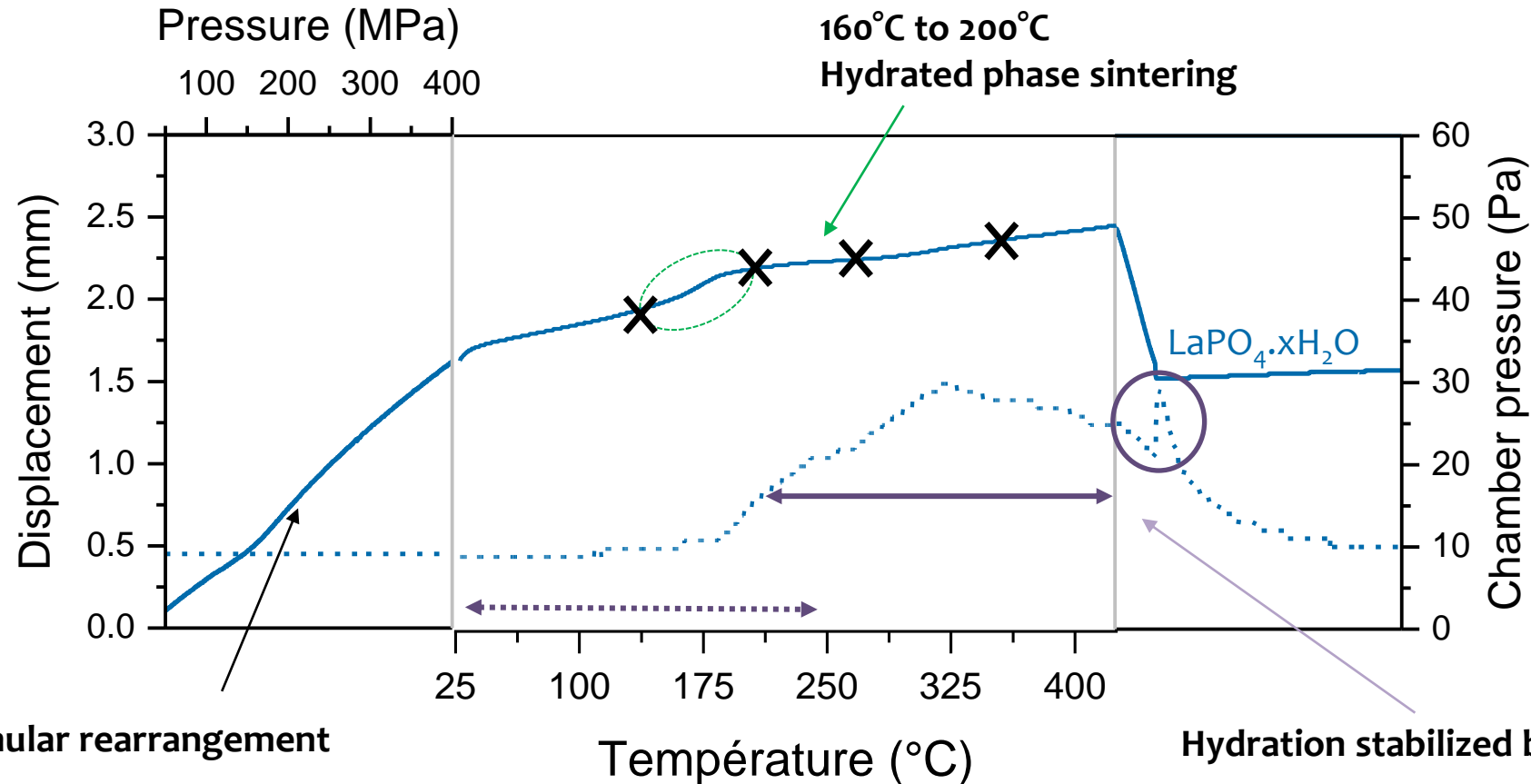
In-Situ Spark Plasma Sintering dilatometry measurement – 600°C → 1300 °C - 50 MPa



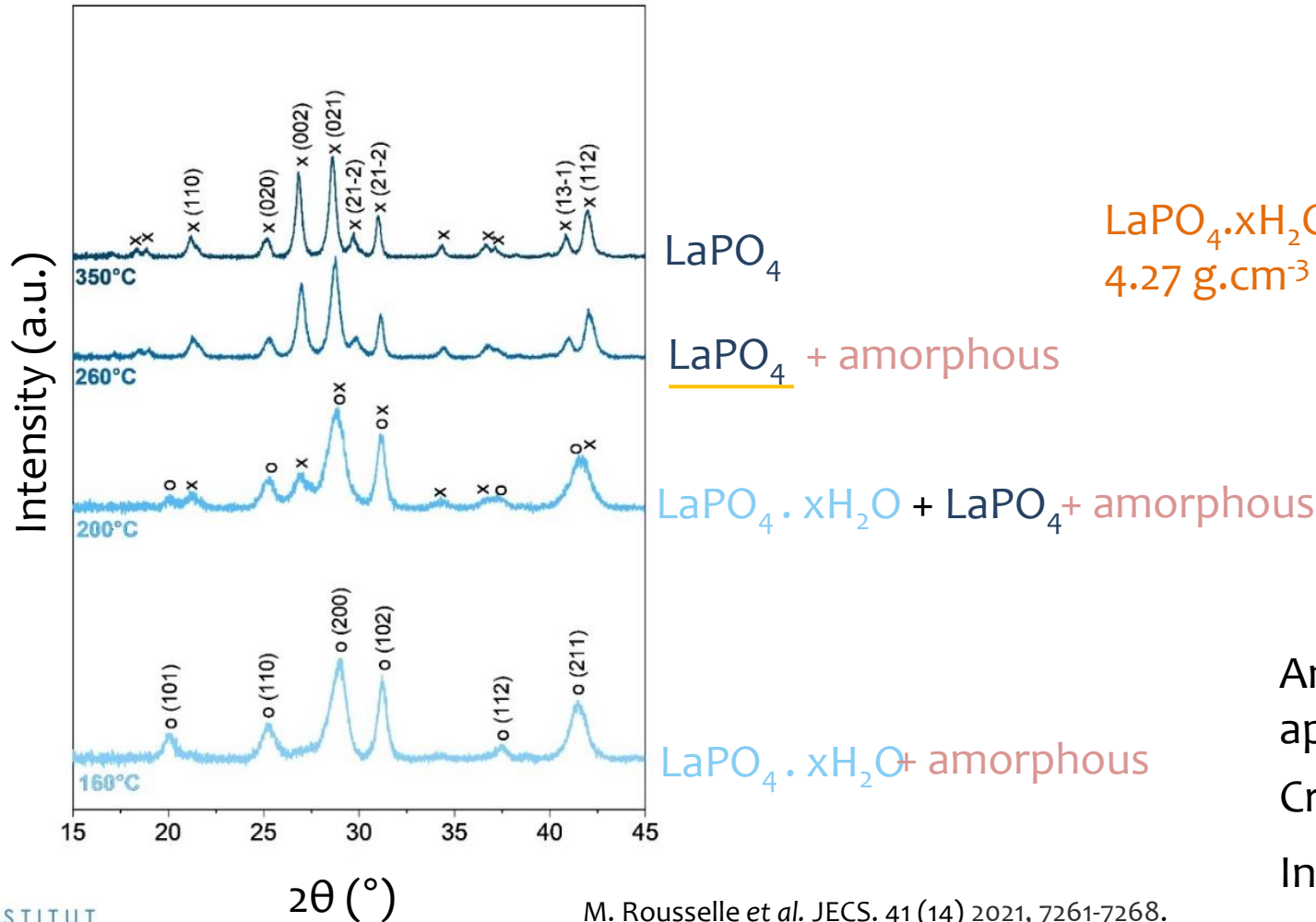
Shrinkage + dehydration → Low temperature densification

650°C à 1000°C
Anhydrous phase sintering

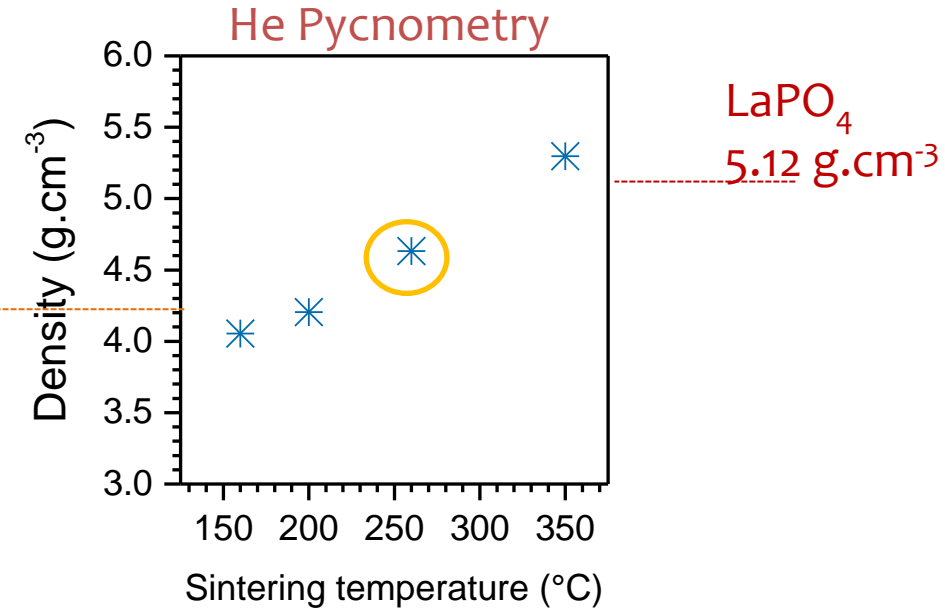
In-situ Spark Plasma Sintering dilatometry measurement – 25 → 425 °C - 400 MPa



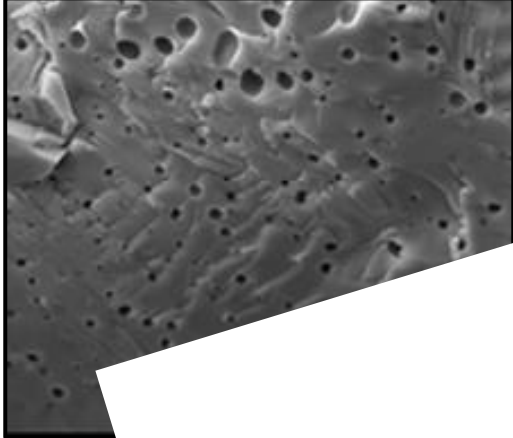
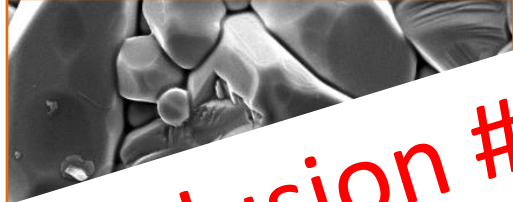
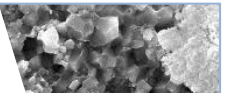
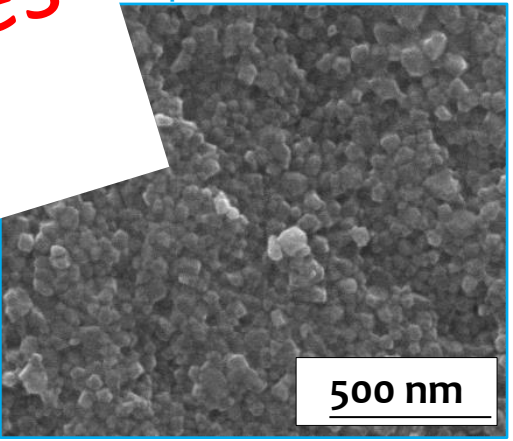
Low temperature SPS – T (°C) – 10 min – 400 MPa



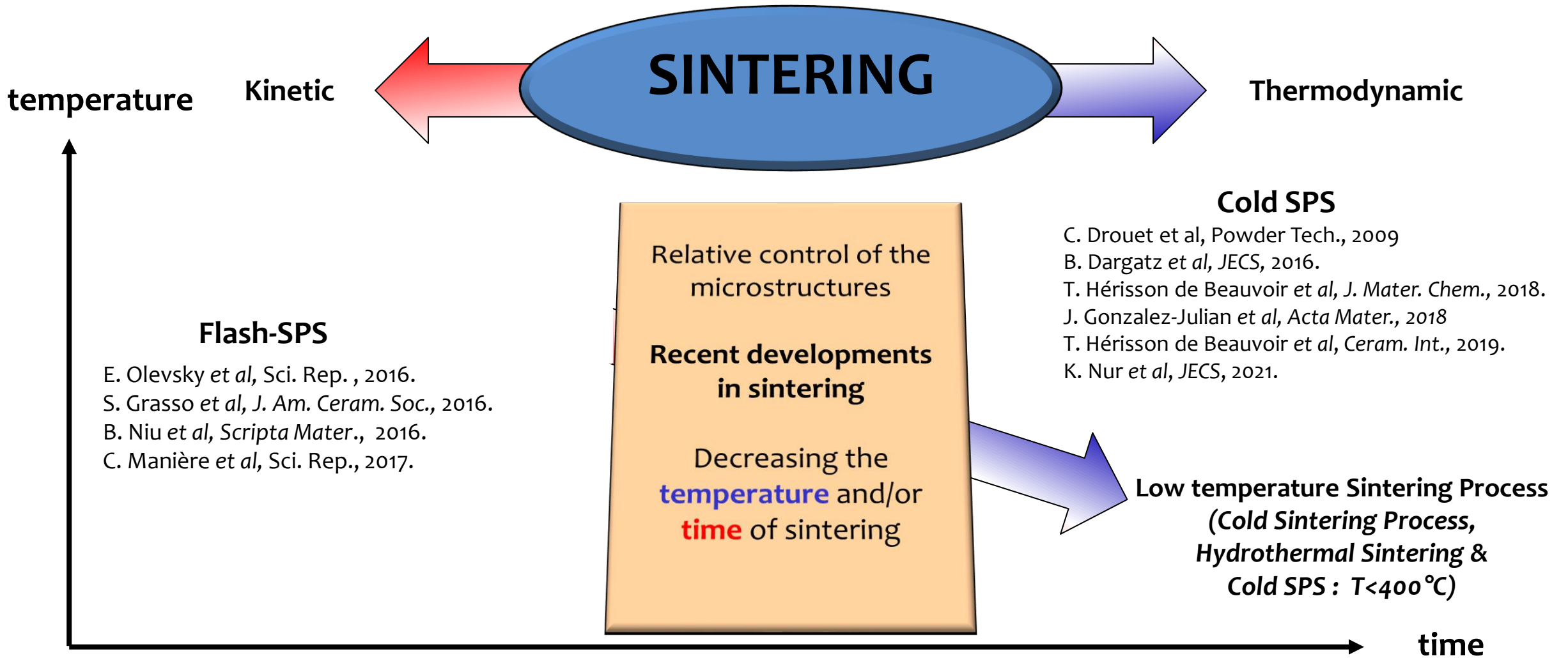
LaPO₄ · xH₂O
4.27 g · cm⁻³



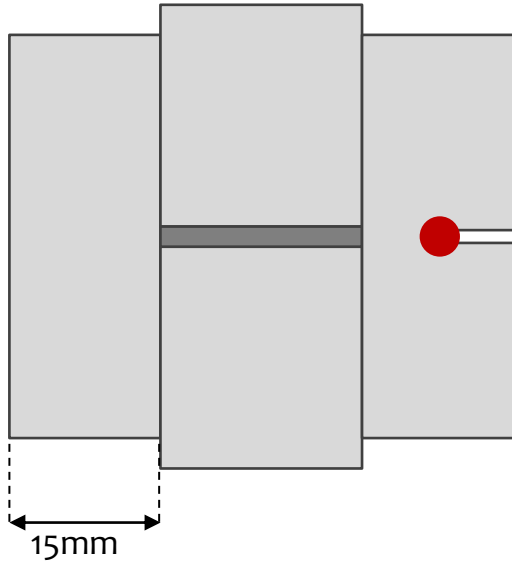
Anhydrous phase formation eased by applied pressure
Crystallization of anhydrous phase at 350 °C
Intermediate amorphous phase

	Conventional Sintering	Spark Plasma Sintering	Low temperature SPS	
microstructure	<p>1350°C – 3h</p>  <p>[3] S. A. Ceram. ...</p>	<p>1150°C – 50 MPa – 10 min</p>  <p>10 μm</p>	<p>1150°C – 50 MPa – 10 min</p> 	<p>1150°C – 400 MPa – 10 min</p>  <p>500 nm</p>
Relative density		96%	94%	86%
Grain size		3.5 ± 0,5 μm	0.9 & 0.09 μm	40 ± 0.3 nm
Microhardness	1.3 GPa	2.3 ± 0.4 GPa	2.5 ± 0.3 GPa	1.7 ± 0.3 GPa

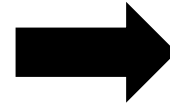
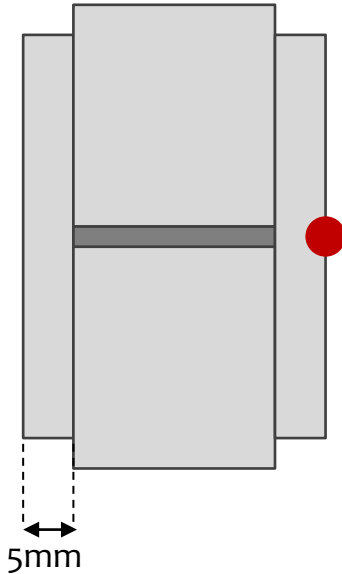
Conclusion #1
Cold-SPS offers new possibilities to sinter materials



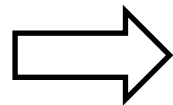
Classic SPS setup



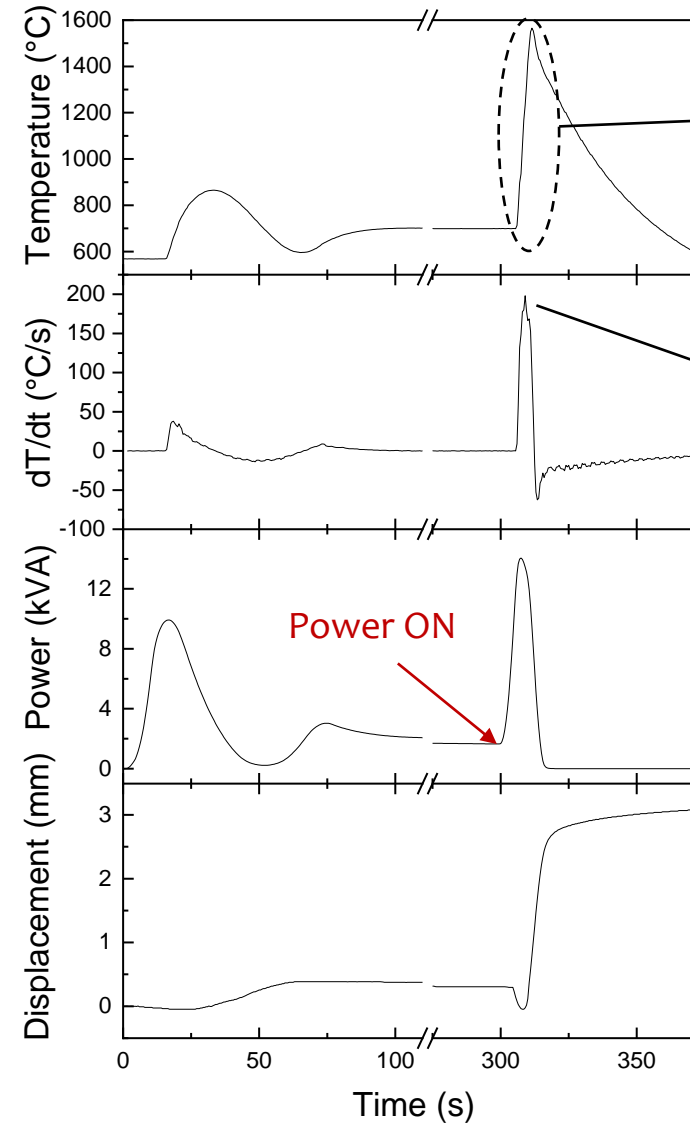
Flash SPS



~~Sample temperature~~



Apparent temperature

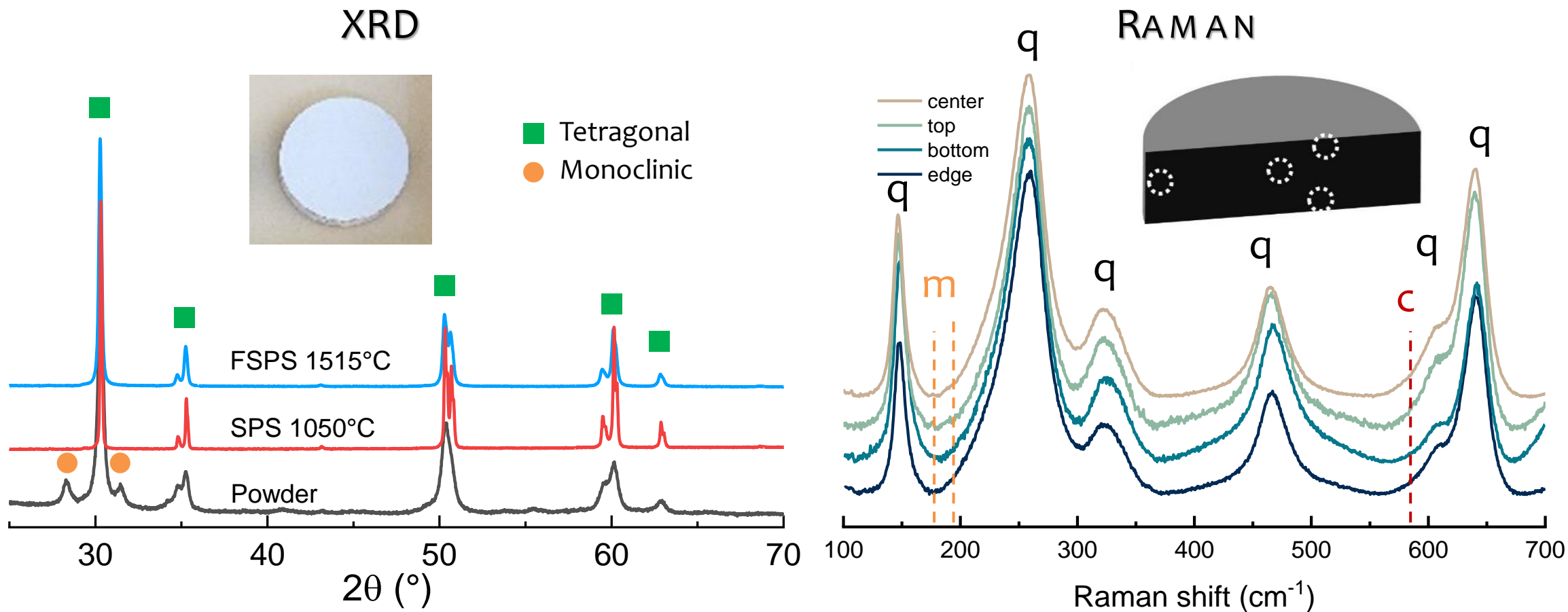


> 850°C in 6s
 $T_{max} = 1560^{\circ}\text{C}$

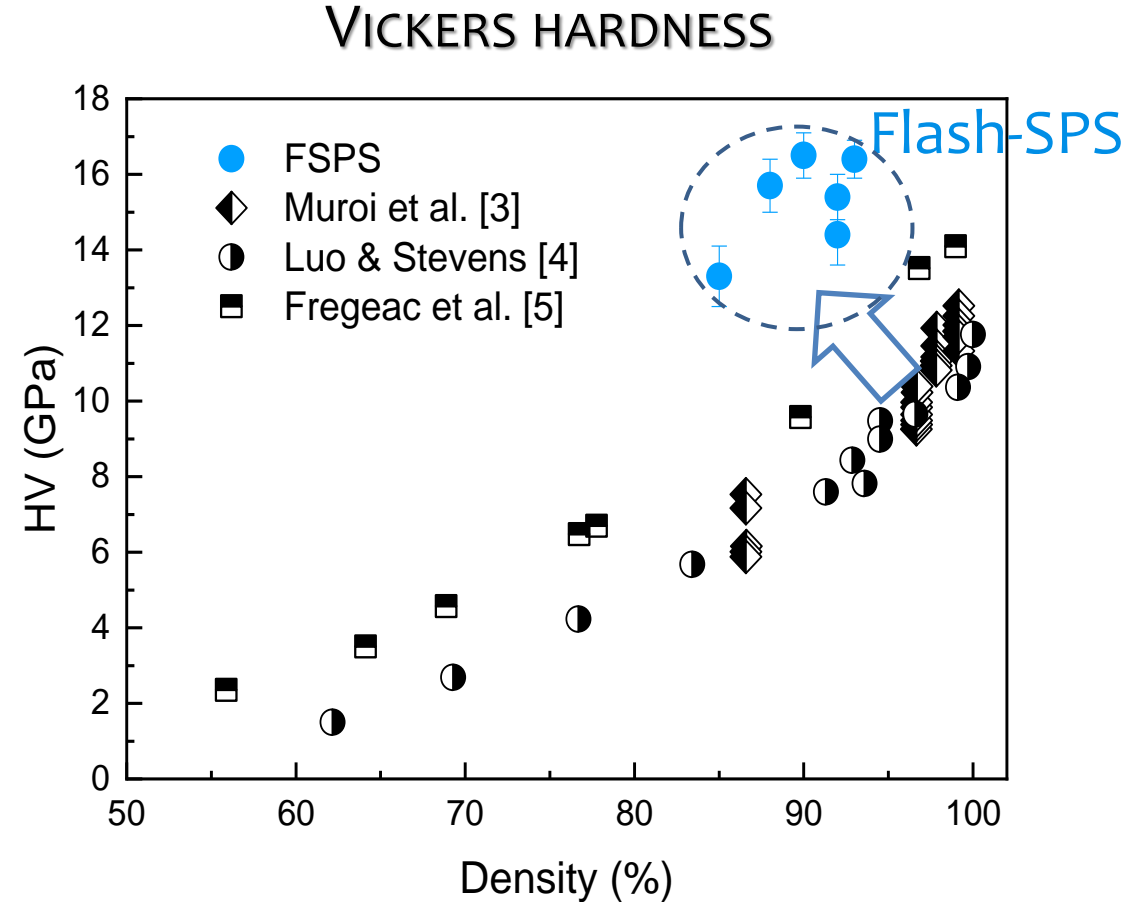
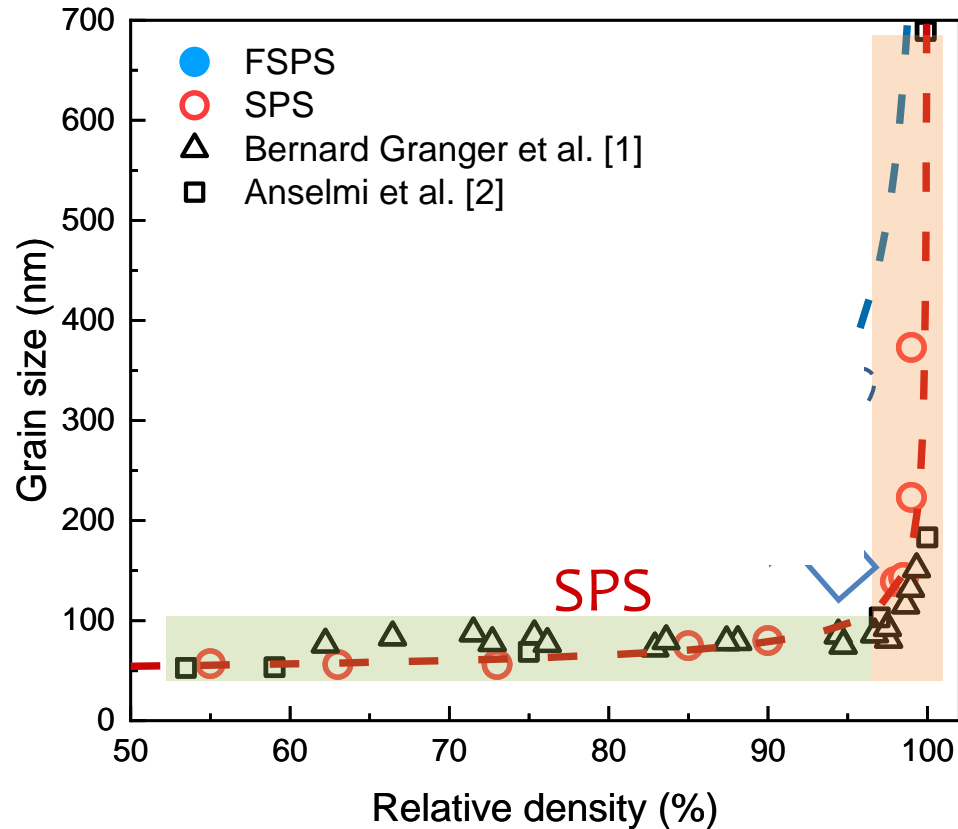
No dwell time

→ Max 200°C/s
→ Average 144°C/s
or $\approx 8\,500^{\circ}\text{C}/\text{min}$

$\approx 3\text{mm}$ in 6s



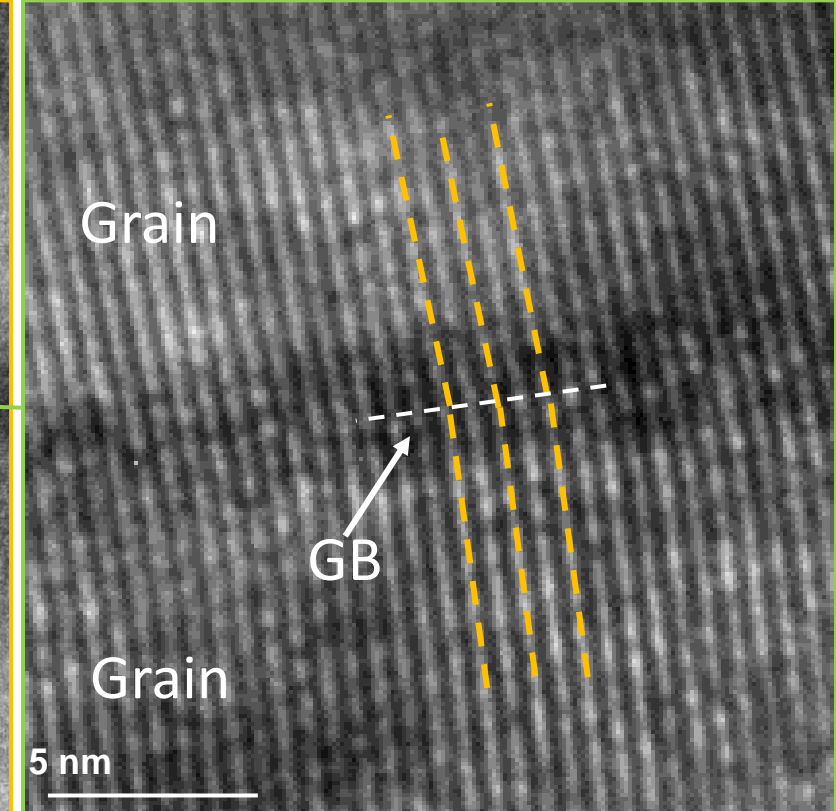
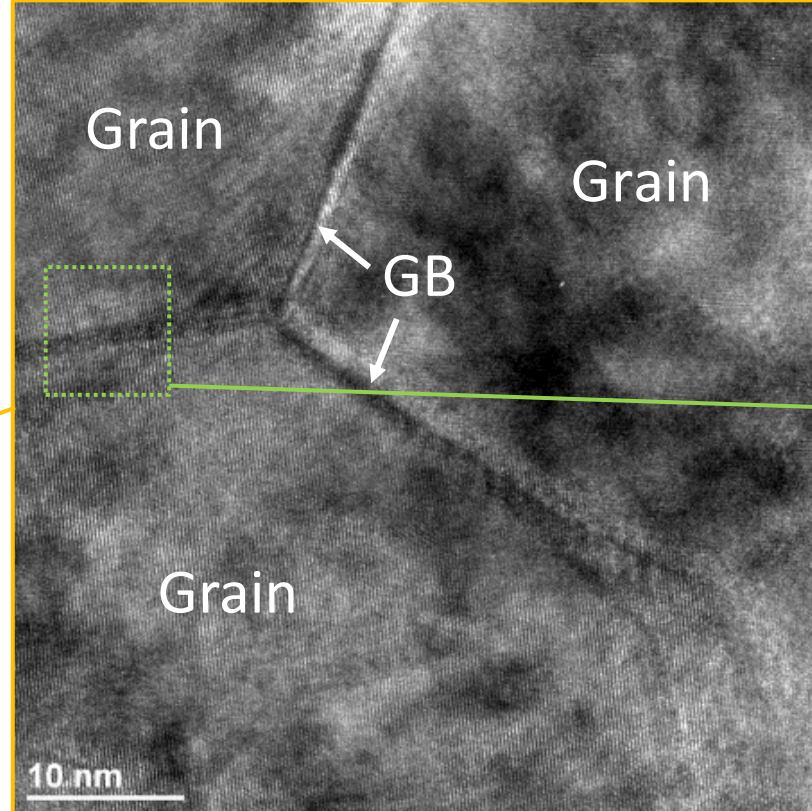
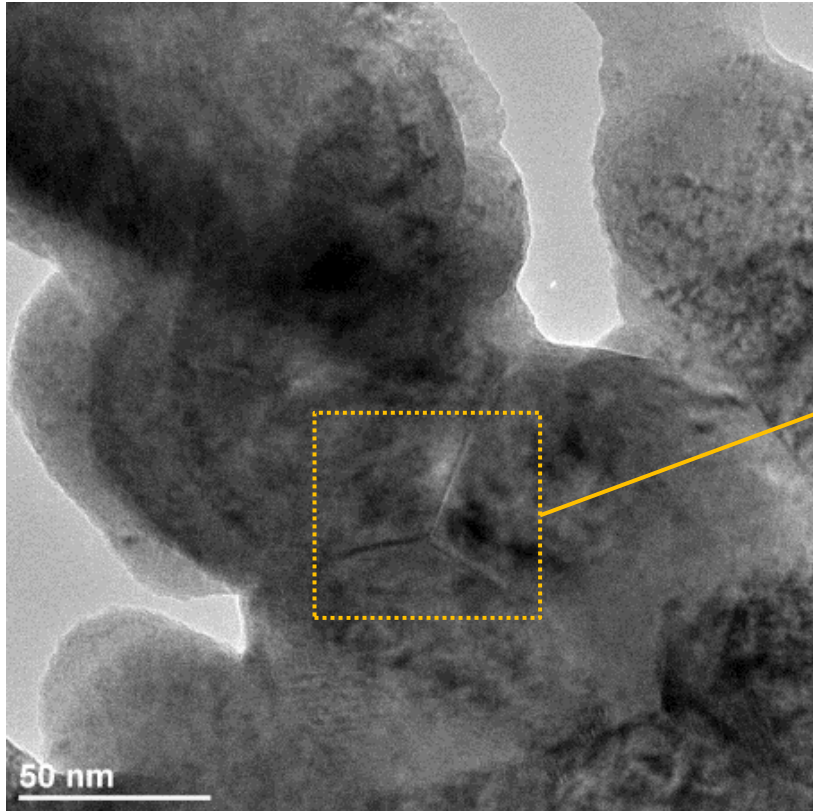
→ Structural homogeneity



[1] Acta Mater 56 (2008) 4658-4672.
 [2] J. Mater. Res. 19 (2004) 3255-3262.
 [3] Randall German, Sintering: From empirical observations to scientific principles (2014) Butterworth-Heinemann.

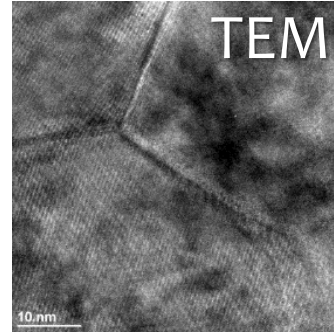
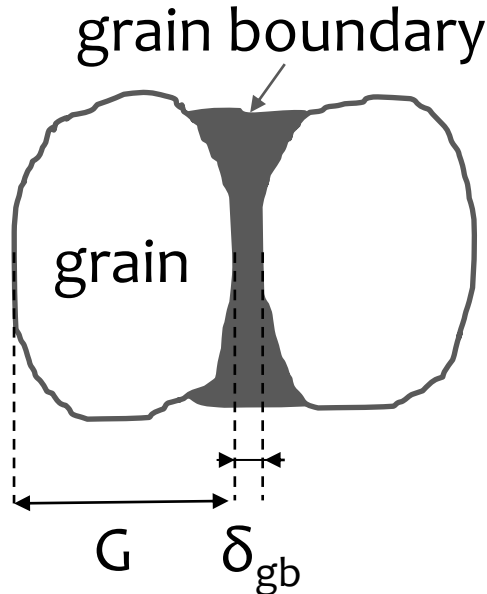
θ \Rightarrow non classical mechanisms ?

[3] J. Mater. Sci.43 (2008) 6376-6384.
 [4] Cerm. Int. 25 (1999) 281-286.
 [5] Ceram.Int. 4 (2019)23740-23749.

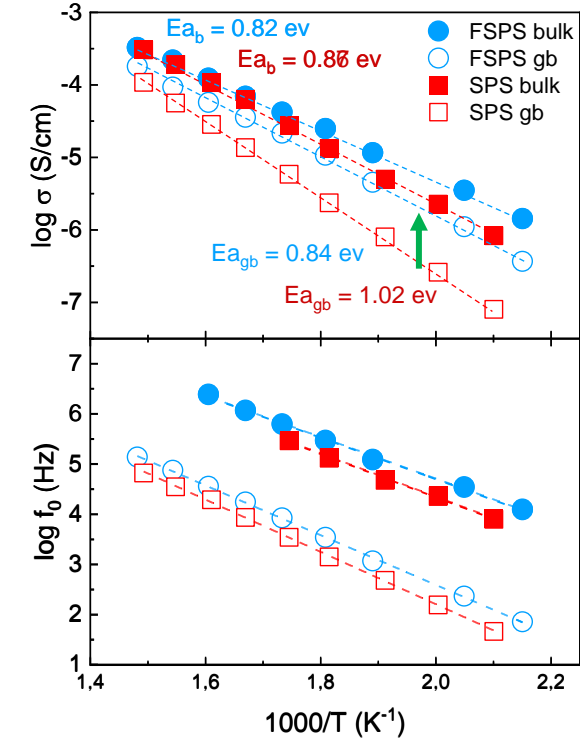
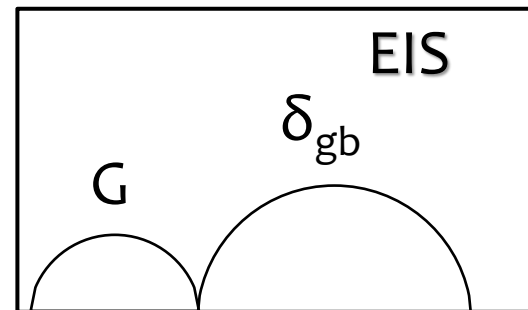
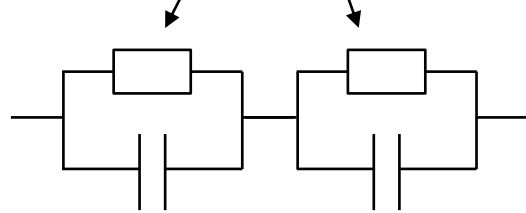


⇒ Porosity
⇒ Thin grain boundaries

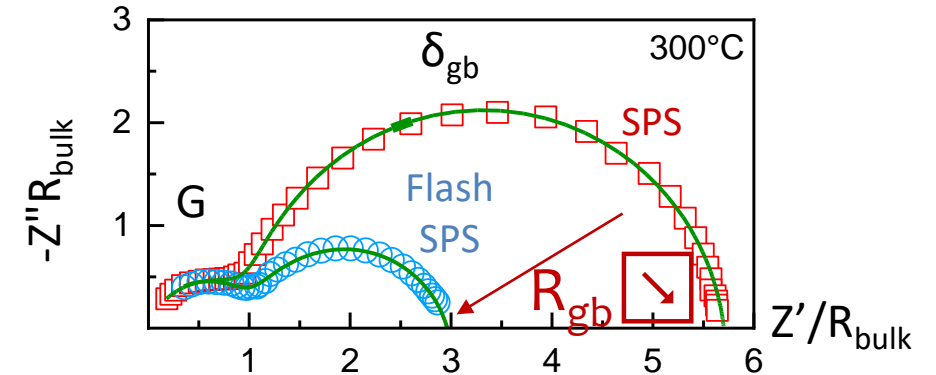
LOCAL OBSERVATION

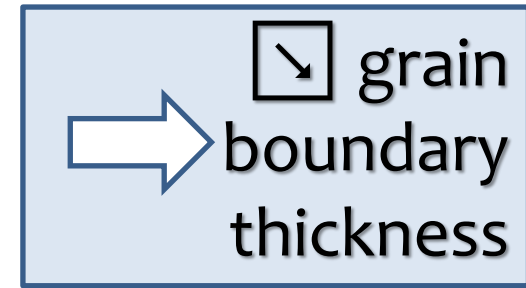
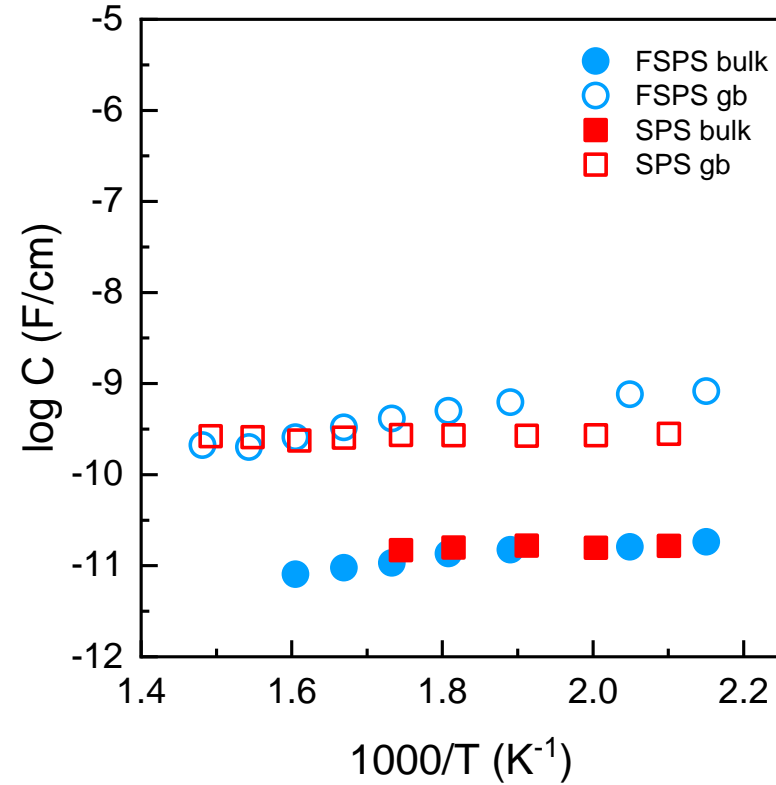
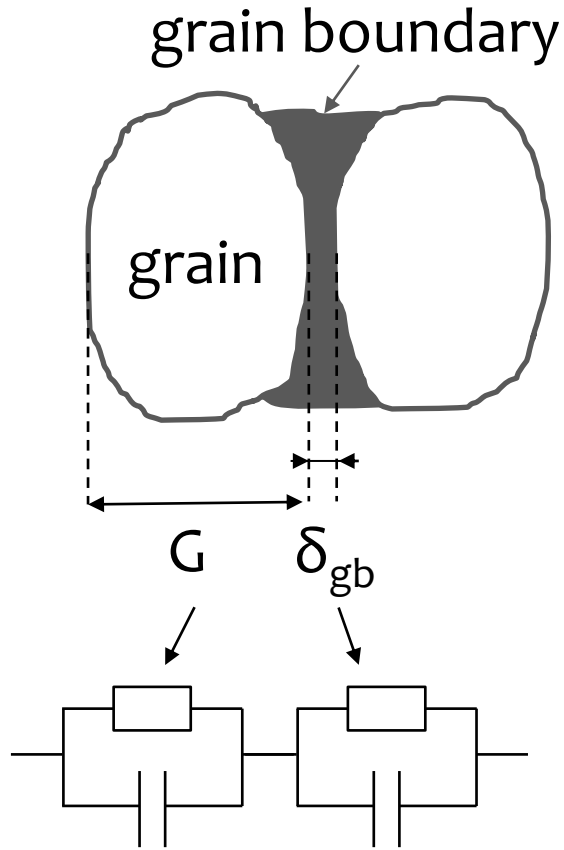


GLOBAL OBSERVATION



SPS & FSPS
Samples
same grain size
 ~ 220 nm

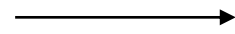




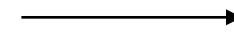
$$\frac{\delta_{gb}}{G} = \frac{C_{bulk}}{C_{gb}}$$

C_i : capacitance
 δ_{gb} : GB thickness
 G : grain size

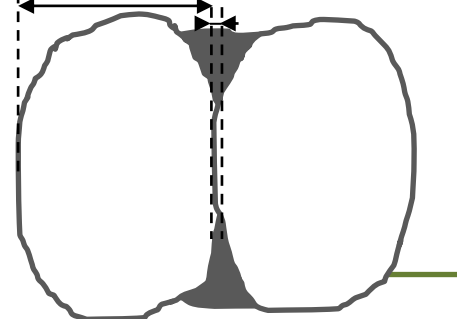
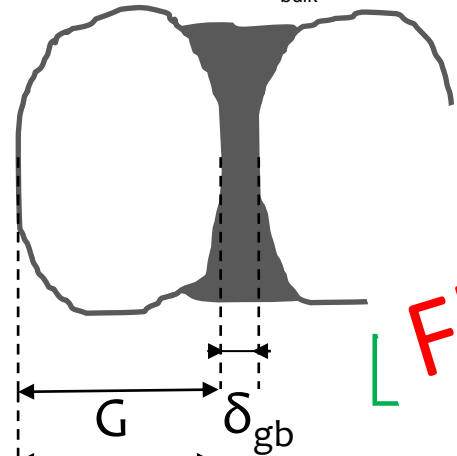
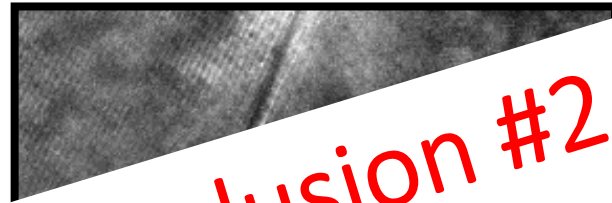
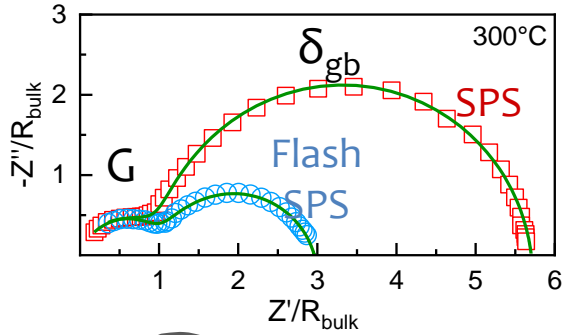
EIS - global



MET - local

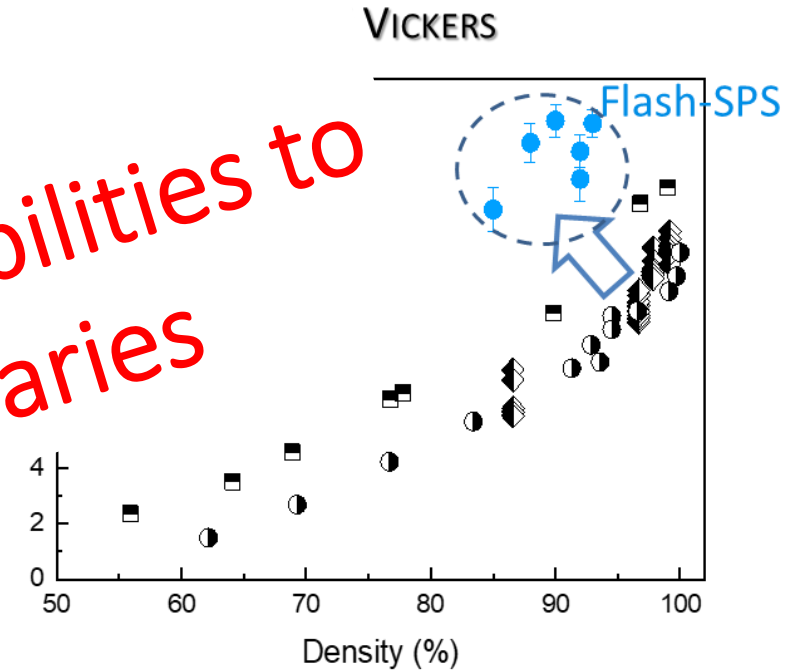


Macro

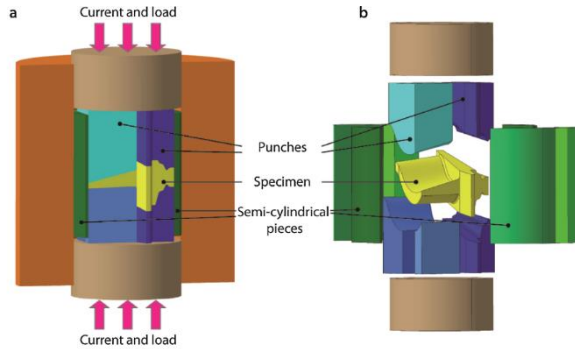


Flash
SPS

Conclusion #2
Flash-SPS offers new possibilities to engineer grain boundaries



Use of complex tooling

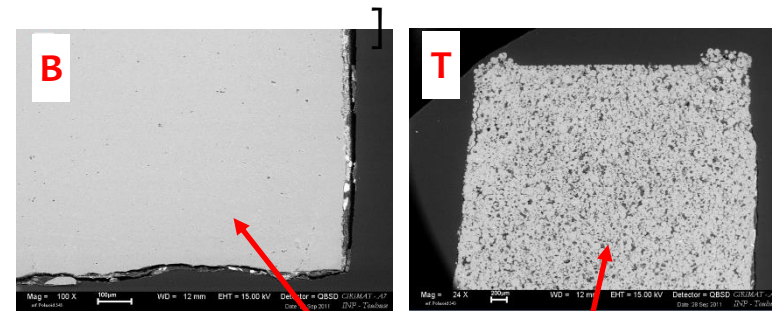


SPS tooling for the production of a turbine blade [1]



T. Voisin, et al, Adv. Eng. Mater., 2015

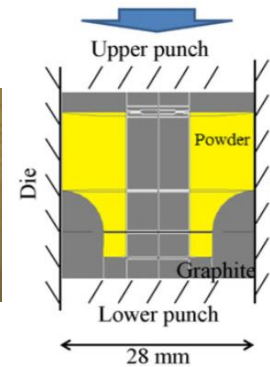
Images of the polished surfaces of the alumina part at points B and T



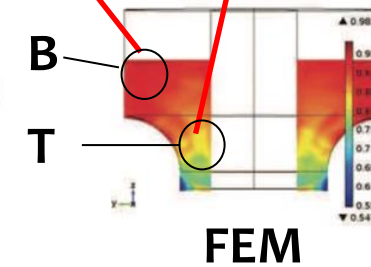
Desired geometry



Classical configuration



Density gradient



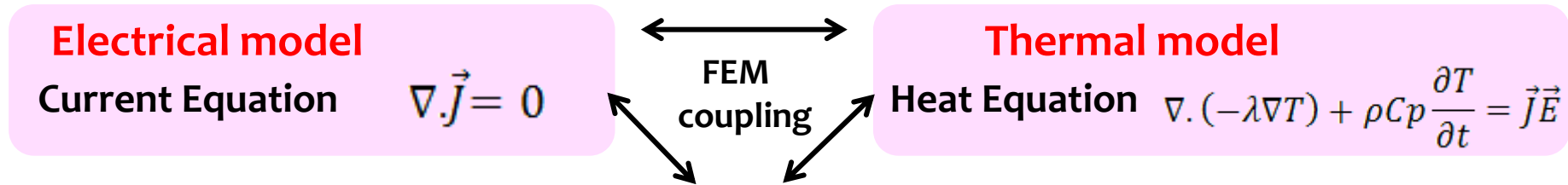
Targeted geometry and SPS configuration

C. Manière et al, Scripta Mat., 2016.

C. Maniere et al, Acta Materialia, 2016.

Joule heating
Densification

Electrical, Thermal, Mechanical Physics



Mechanical model (porous creep)

Olevsky model

or

Aboutaf model

Stress tensor $\underline{\sigma} = \frac{\sigma_{eq}}{\dot{\epsilon}_{eq}} \left(\varphi \underline{\dot{\epsilon}} + \left(\psi - \frac{1}{3} \varphi \right) tr(\underline{\dot{\epsilon}}) \mathbb{1} \right) + P_l \mathbb{1}$

Stress tensor $\underline{\sigma} = \frac{\sigma_{eq}}{\dot{\epsilon}_{eq}} \left(\frac{2}{3c} \underline{\dot{\epsilon}} + \left(\frac{1}{9f} - \frac{2}{9c} \right) tr(\underline{\dot{\epsilon}}) \mathbb{1} \right)$

Equivalent creep parameters $\dot{\epsilon}_{eq} = \frac{1}{\sqrt{1-\theta}} \sqrt{\varphi \dot{\gamma}^2 + \psi tr(\underline{\dot{\epsilon}})^2}$

Equivalent creep parameters $\sigma_{eq} = \sqrt{3cJ_2 + fI_1^2}$

Functions of porosity $\varphi = (1-\theta)^2$
 $\psi = \frac{2(1-\theta)^3}{3\theta}$

Functions of porosity $f = k \frac{(1-\rho)}{(\rho-\rho_{cr})}$
 $c = 1 + a \frac{(1-\rho)}{(\rho-\rho_{cr})}$

Microstructure evolution

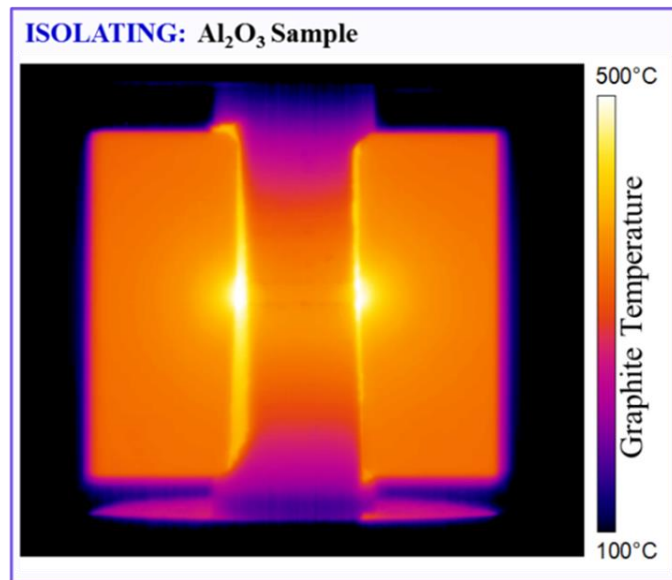
Grain growth (Olevsky)

Grain growth (Olevsky) $\dot{G} = \frac{k_0}{3G^2} \left(\frac{\theta_c}{\theta_c + \theta} \right)^{\frac{3}{2}} \exp \left(\frac{-Q_G}{RT} \right)$

Adjusting
by reverse
analysis

- > **Electric contacts** : responsible for a global warming of the system
- > **Thermal contacts** : explains the localized heating of the papyex
- > **Correct the thermal conductivity in plane** of Papyex \Rightarrow hot spot.

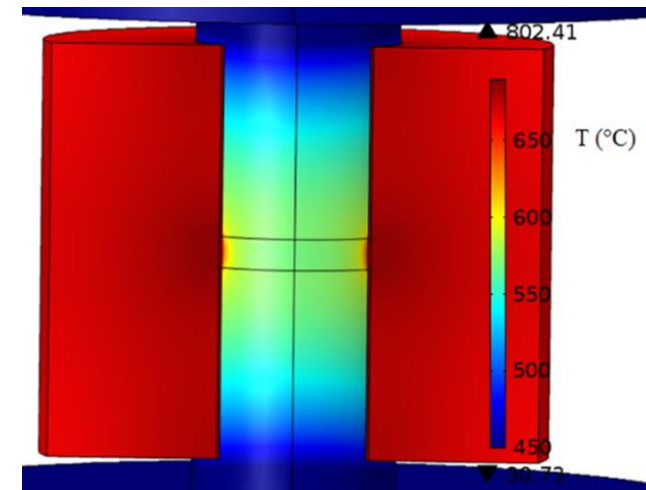
Experimental



1st Strategy : Calibration

C. Manière et al, EPSR, 2015
C. Manière et al, JECS, 2016

Modeling



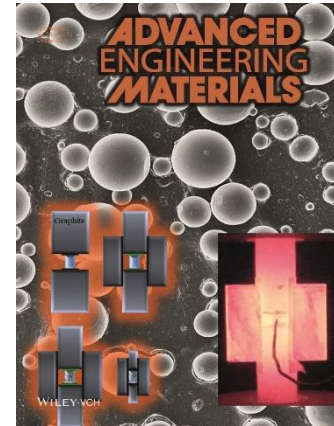
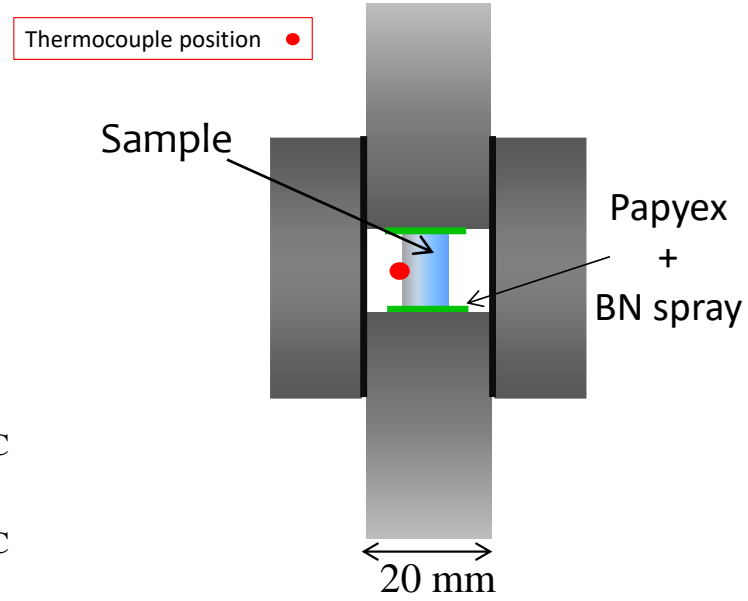
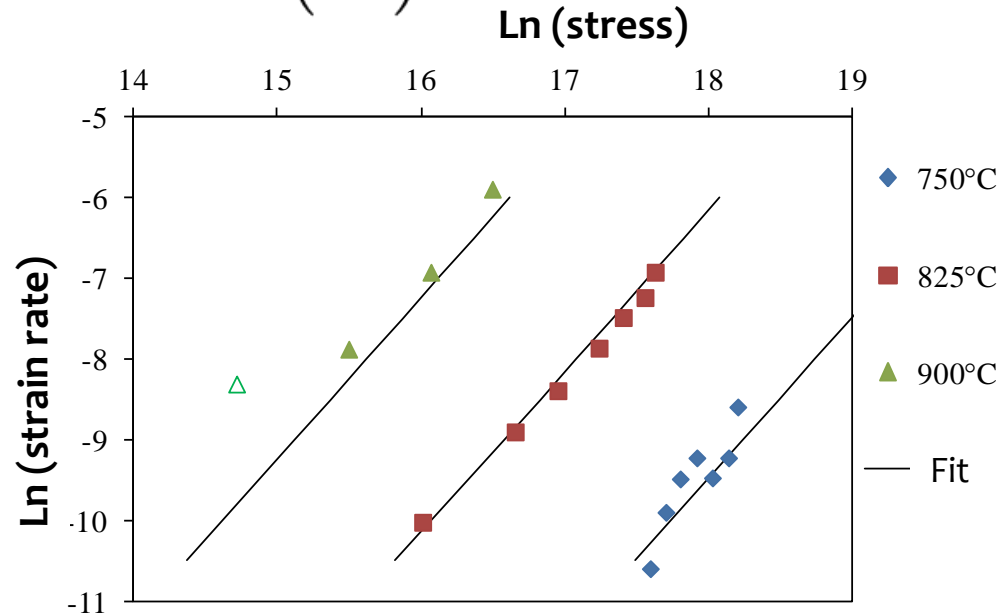
2nd Strategy : Reverse analysis via minimization

A. Van der Laan et al, JECS, 2021

1st Strategy : experimental determination of creep parameters

Norton law $\dot{\epsilon}_{eq} = A\sigma_{eq}^n$

With $A = A_0 \exp\left(\frac{-Q}{RT}\right)$



$$\dot{\epsilon}_{eq} = 30,6 * \exp\left(\frac{-4,16 * 10^5}{RT}\right) \sigma_{eq}^2$$

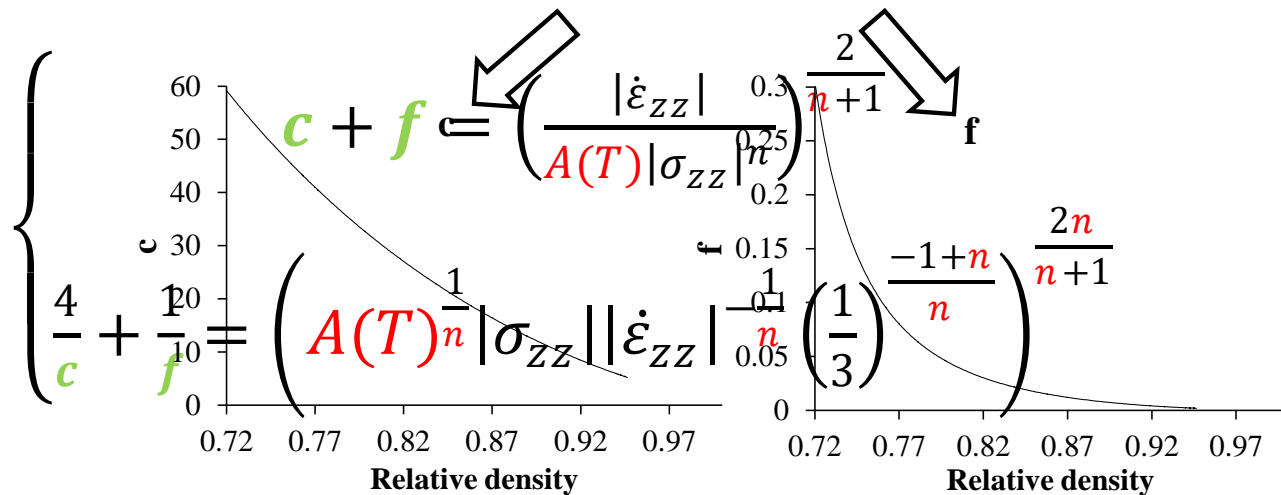
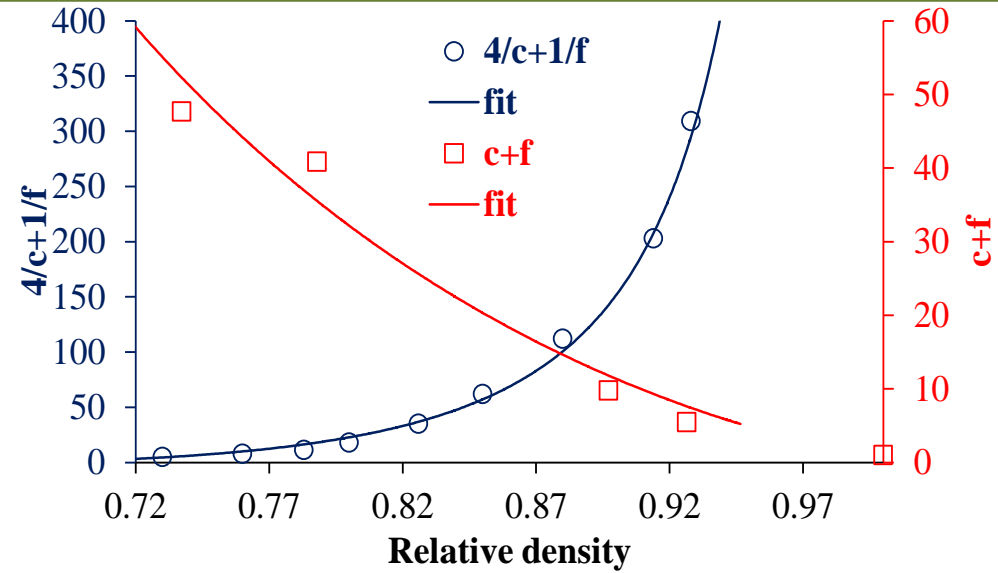
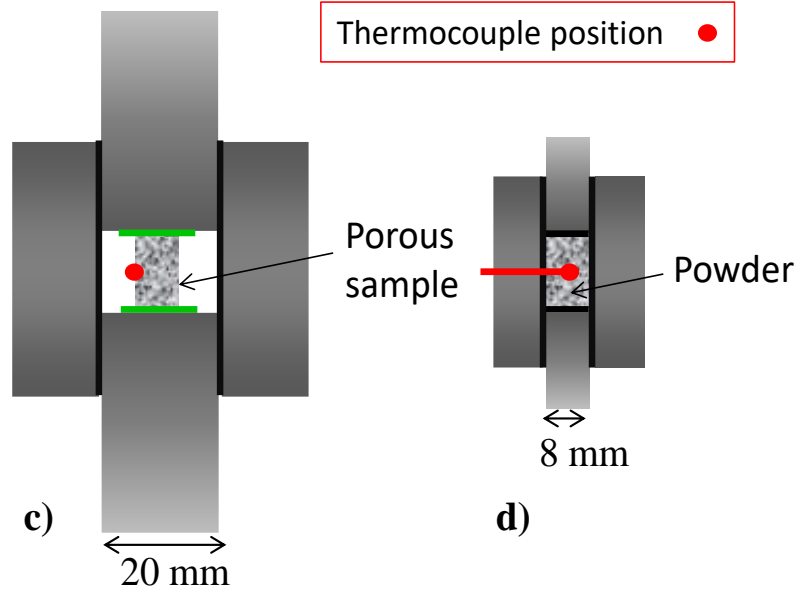
C. Manière et al., Adv. Eng. Mater., 2016.

2nd Strategy : creep parameter determination from densification curves by reverse analysis via minimization

A. Van der Laan et al., JECS 2021

A. Van der Laan et al. Intermetallics 2022.

1st Strategy

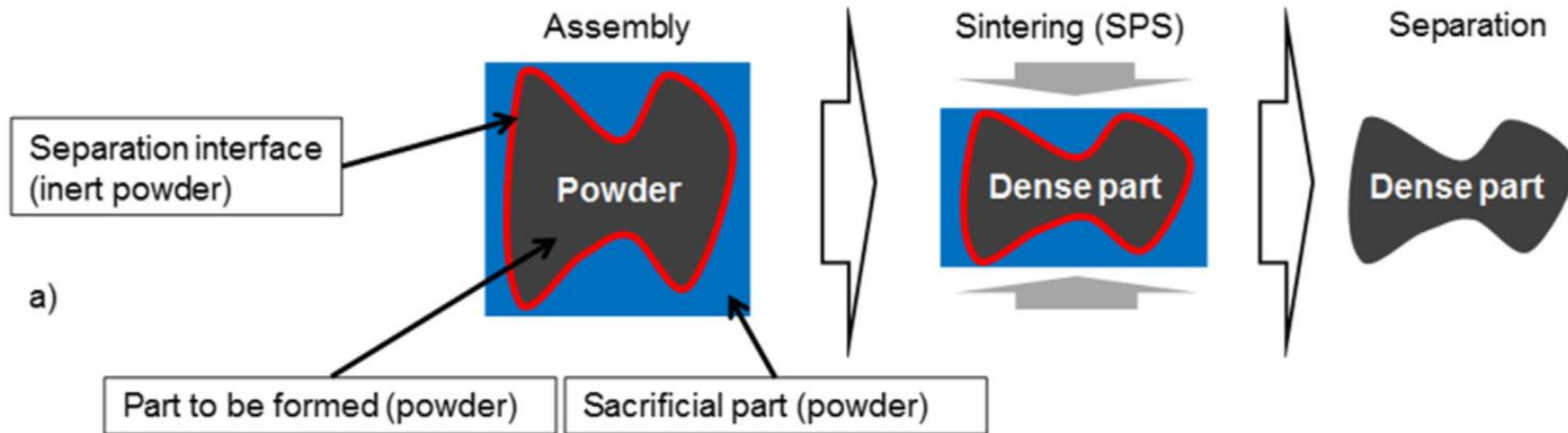


2nd Strategy :

creep parameter
determination from
densification curves by
reverse analysis via
minimization

A. Van der Laan et al., J ECS 2021
A. Van der Laan et al. Intermetallics 2022.

State of the art: “Mobilint” strategy

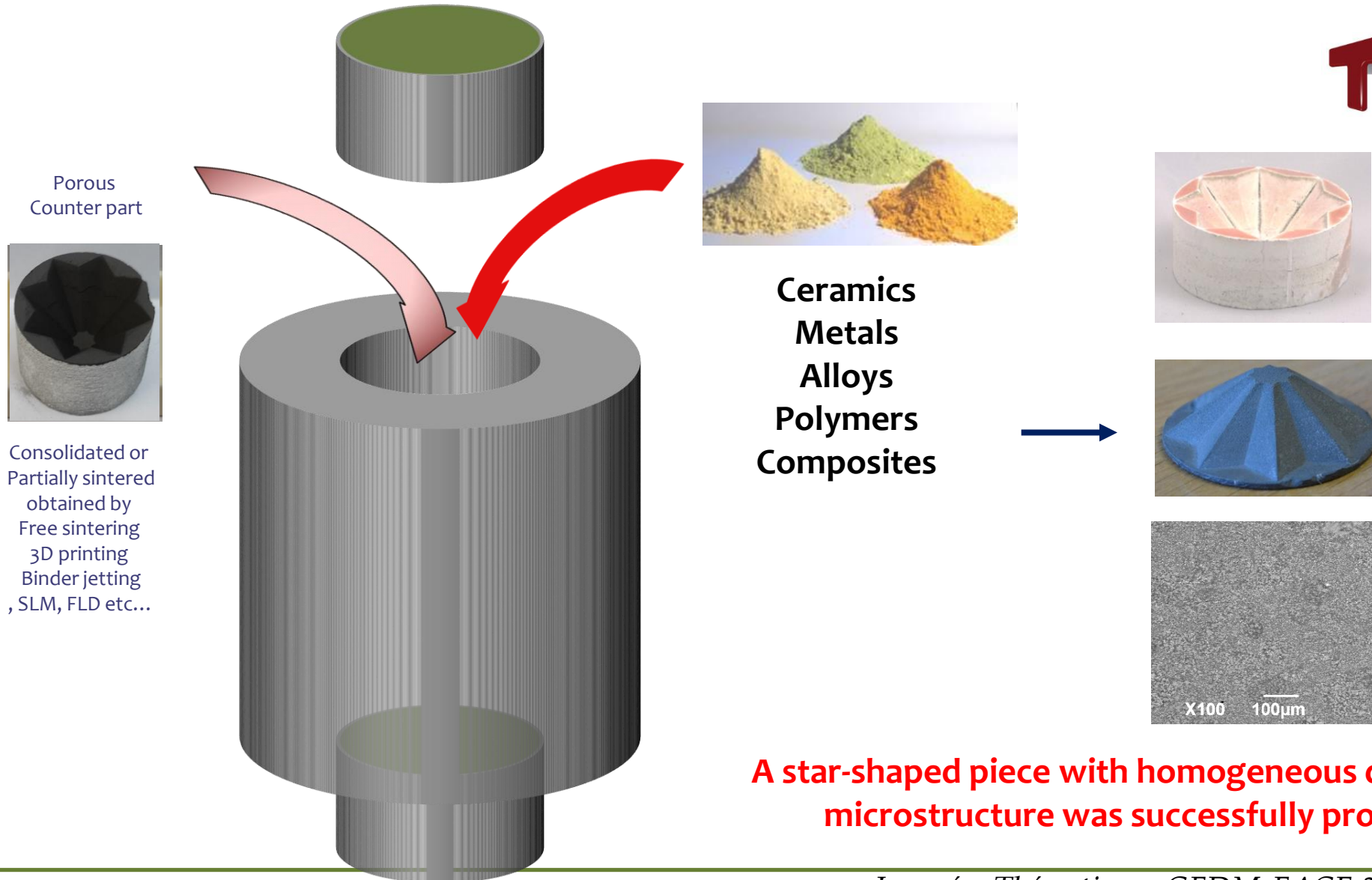


Schematic of the “Mobilint” process

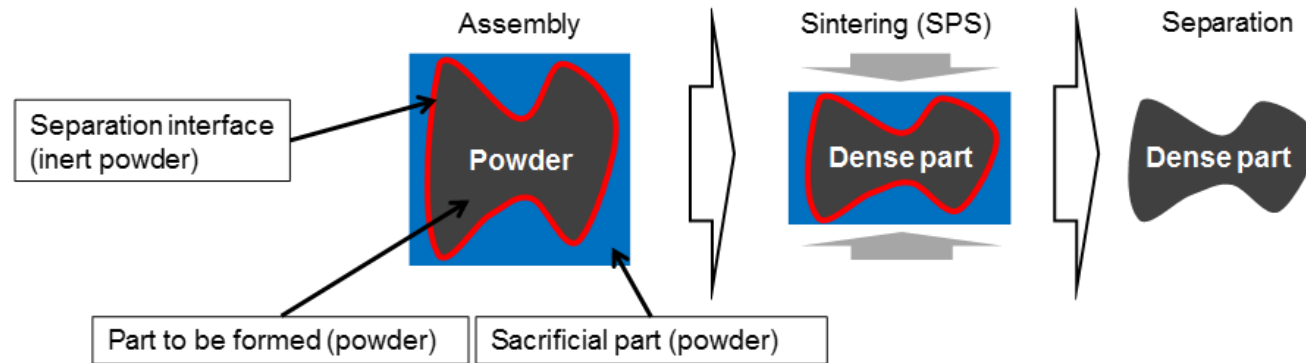
C. Estournes et al/ US 2018 / 0318931 A1

C. Manière et al, Powder Technology, 2017.

1st Strategy



A star-shaped piece with homogeneous density and microstructure was successfully produced

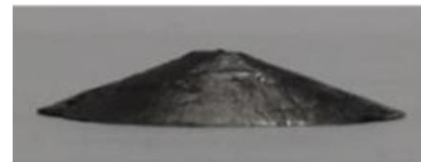


Polymers

PMMA d~100%



Ceramics

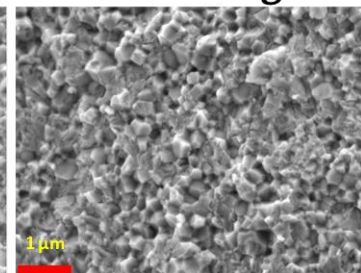
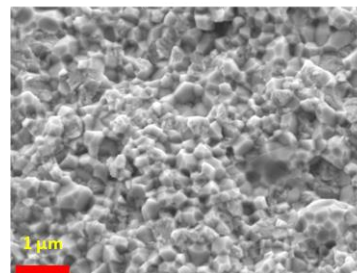


d=99%

4Y-ZrO₂

center

edge



Metals

Spark plasma sintered
turbine blade

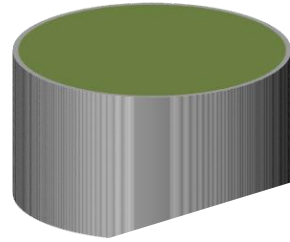


30mm

Ni superalloy

2nd Strategy

Preform

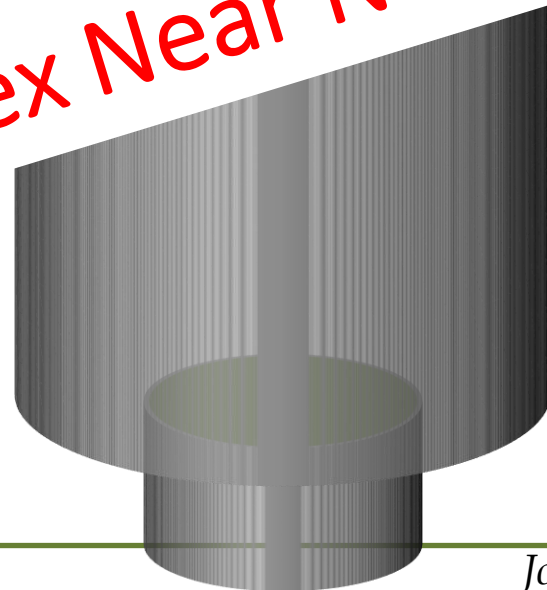


Conclusion #3
SPS allows to elaborate
3D complex Near Net Shape Materials

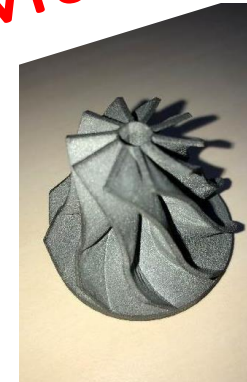
Porous preform

Partially consolidate
Fully Consolidated
zone on the perimete
of the object

3D printing Binder jetting
SLM,
etc...



Fully dense parts
with homogenous
microstructures





Geoffroy
Chevallier



Florence
Ansart



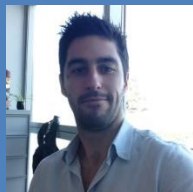
Christophe
Laurent



Alicia
Weibel



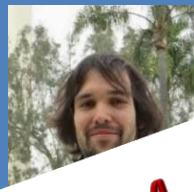
David
Meunier



Thomas
Herisson
de Beauvoir



Antoine
Lonjon



Mélanie
Rousselle



Camille
Estournès



Vincent
Baylac



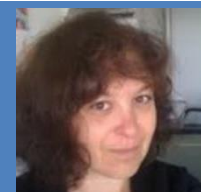
Simon
Tardieu



Antoine
Van der Laan



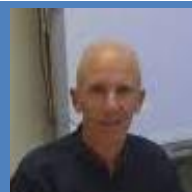
Catherine
Elissalde



Graziella
Goglio



Jérôme
Majimel



Fabrice
Mauvy



Mario
Maglione



Michael
Josse



U-Chan
Chung



Matthew
Suchomel

Merci de votre
attention



Serge
Brezineff



Guillaume
Fradet



Lise
Durand

